

Formulário de Mecânica Aplicada I

Nota: Este formulário deve ser impresso numa única folha A4.
A interpretação das fórmulas é responsabilidade do aluno.

Última actualização: 18/9/2009

- Chumaceiras axiais; atrito em discos:

$$M = \frac{2}{3} \mu_k Q \frac{R_2^3 - R_1^3}{R_2^2 - R_1^2}$$

- Igualdade entre os símbolos de permutação e os deltas de Kronecker

$$e_{ijk}e_{imn} = \delta_{jm}\delta_{kn} - \delta_{km}\delta_{jn}.$$

- Definição de produto de inércia utilizada neste formulário: $I_{ij} = - \int x_i x_j dm$
- Momento de inércia em relação a um eixo OM que passa pela origem O do referencial:

$$I_{OM} = I_{xx}n_x^2 + I_{yy}n_y^2 + I_{zz}n_z^2 + 2I_{xy}n_x n_y + 2I_{xz}n_x n_z + 2I_{yz}n_y n_z$$

em que $\vec{n} = (n_x, n_y, n_z)$ é um vector unitário com a direcção do eixo.

- Rotação θ do referencial no plano, de (x, y) para (x', y') :

- Transformação do tensor de inércia:

$$\begin{bmatrix} I_{x'x'} \\ I_{y'y'} \\ I_{x'y'} \end{bmatrix} = \begin{bmatrix} \cos^2 \theta & \sin^2 \theta & \sin 2\theta \\ \sin^2 \theta & \cos^2 \theta & -\sin 2\theta \\ -\frac{1}{2} \sin 2\theta & \frac{1}{2} \sin 2\theta & \cos 2\theta \end{bmatrix} \begin{bmatrix} I_{xx} \\ I_{yy} \\ I_{xy} \end{bmatrix}$$

- Rotação θ para passar para referencial principal de inércia:

$$\tan 2\theta = \frac{2I_{xy}}{I_{xx} - I_{yy}}$$

- Valores máximo e mínimo dos momentos de inércia:

$$I_{\max}, I_{\min} = \frac{I_{xx} + I_{yy}}{2} \pm \sqrt{\left(\frac{I_{xx} - I_{yy}}{2}\right)^2 + I_{xy}^2}$$

- Teorema dos eixos paralelos para produtos de inércia:

- Se no referencial $Oxyz$ a posição da origem O' do referencial $O'x'y'z'$ é $\vec{r}_{O'/O} = (a, b, c)$ e a posição do centro de massa em $Oxyz$ é $\vec{r} = (\bar{x}, \bar{y}, \bar{z})$ então

$$I_{x'y'} = I_{xy} + m(a\bar{y} + b\bar{x} - ab),$$

$$I_{x'z'} = I_{xz} + m(a\bar{z} + c\bar{x} - ac),$$

$$I_{y'z'} = I_{yz} + m(b\bar{z} + c\bar{y} - bc).$$

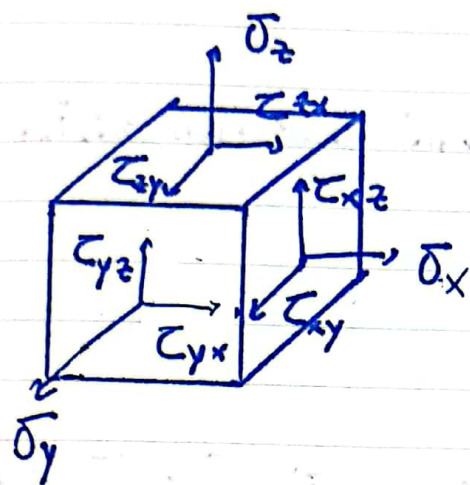
Rectângulo		$\bar{I}_{x'} = \frac{1}{12}bh^3$ $\bar{I}_{y'} = \frac{1}{12}b^3h$ $I_x = \frac{1}{3}bh^3$ $I_y = \frac{1}{3}b^3h$ $J_C = \frac{1}{12}bh(b^2 + h^2)$
Triângulo		$\bar{I}_{x'} = \frac{1}{36}bh^3$ $I_x = \frac{1}{12}bh^3$
Círculo		$\bar{I}_x = \bar{I}_y = \frac{1}{4}\pi r^4$ $J_O = \frac{1}{2}\pi r^4$
Semicírculo		$I_x = I_y = \frac{1}{8}\pi r^4$ $J_0 = \frac{1}{4}\pi r^4$ $\bar{y} = \frac{4r}{3\pi}$
Quarto de círculo		$I_x = I_y = \frac{1}{16}\pi r^4$ $J_0 = \frac{1}{4}\pi r^4$ $\bar{y} = \frac{4r}{3\pi}$
Elipse		$\bar{I}_x = \frac{1}{4}\pi ab^3$ $\bar{I}_y = \frac{1}{4}\pi a^3b$ $J_0 = \frac{1}{4}\pi ab(a^2 + b^2)$

Tabela 1: Momentos de inércia de superfícies com formas geométricas usuais. Os produtos de inércia não são necessariamente nulos nos eixos indicados.

Barra esbelta		$I_y = I_z = \frac{1}{12}mL^2$
Placa rectangular fina		$I_x = \frac{1}{12}m(b^2 + c^2)$ $I_y = \frac{1}{12}mc^2$ $I_z = \frac{1}{12}mb^2$
Prisma rectangular		$I_x = \frac{1}{12}m(b^2 + c^2)$ $I_y = \frac{1}{12}m(c^2 + a^2)$ $I_z = \frac{1}{12}m(a^2 + b^2)$
Disco fino		$I_x = \frac{1}{2}mr^2$ $I_y = I_z = \frac{1}{4}mr^2$
Cilindro circular		$I_x = \frac{1}{2}ma^2$ $I_y = I_z = \frac{m}{12}(3a^2 + L^2)$
Cone circular		$I_x = \frac{3}{10}ma^2$ $I_y = I_z = \frac{3}{5}m(\frac{a^2}{4} + h^2)$
Esfera		$I_x = I_y = I_z = \frac{2}{5}ma^2$

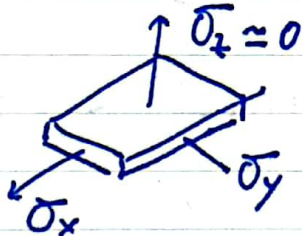
Tabela 2: Momentos de inércia de massa de sólidos com formas geométricas usuais. Os produtos de inércia não são necessariamente nulos nos eixos indicados.

Estado Plano Tensão (usando só o corpo contínuo):

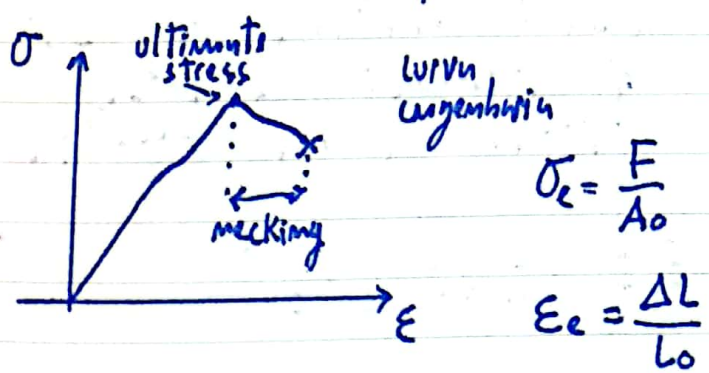


$$\boldsymbol{\sigma} = \begin{bmatrix} \sigma_x & \tau_{xy} & \tau_{xz} \\ \tau_{yx} & \sigma_y & \tau_{yz} \\ \tau_{zx} & \tau_{zy} & \sigma_z \end{bmatrix}$$

Fica num plumo se $\sigma_z \approx 0$ e $\boldsymbol{\sigma} = \begin{bmatrix} \sigma_x & \tau_{xy} \\ \tau_{yx} & \sigma_y \end{bmatrix}$



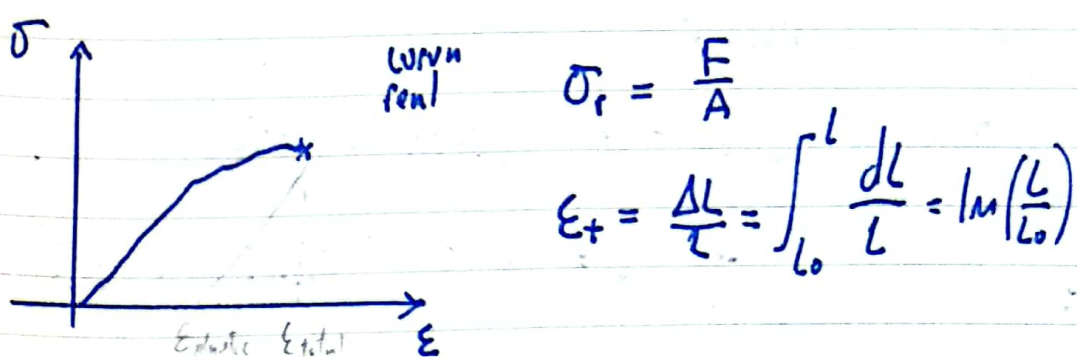
Tensão real e Deformação real:



Porque usamos a curva de engenharia?

① Dificuldade medir a tensão de fato instantaneamente

② Só nos interessam normalmente a região plástica



Antes do necking:

- Variação do volume é buixu região elástica
- Materiais são incompressíveis durante deformação plástica

$$A L = A_0 L_0$$
$$\Rightarrow A = \frac{A_0 L_0}{L}$$

$$\sigma_r = \frac{F}{A} = \frac{F L}{A_0 L_0} = \frac{F}{A_0} (1 + \epsilon_e) \Rightarrow \sigma_r = \sigma_e (1 + \epsilon_e)$$

$$\epsilon_e = \frac{\Delta L}{L_0} = \frac{L - L_0}{L_0} = \frac{L}{L_0} - 1 \Rightarrow \frac{L}{L_0} = 1 + \epsilon_e$$

Conclusão: $\sigma_r = \sigma_e (1 + \epsilon_e)$ e $\epsilon_r = \ln (1 + \epsilon_e)$

Tensão normal e Tensão de corte:

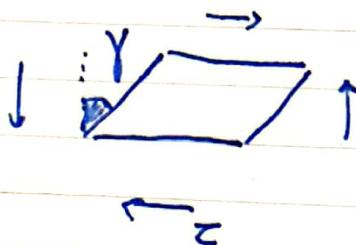
Extensão: $\epsilon = \frac{\Delta L}{L}$

Tensão: quantidade que descreve a distribuição de forças internas de um corpo (P_n ou $\frac{N}{m^2}$)

Tensão: $\sigma = \frac{F}{A}$

$$\sigma = E \epsilon \quad (\text{tensão normal})$$

$$\tau_{average} = \frac{F}{A} \rightarrow \text{nas bordas é diferente}$$

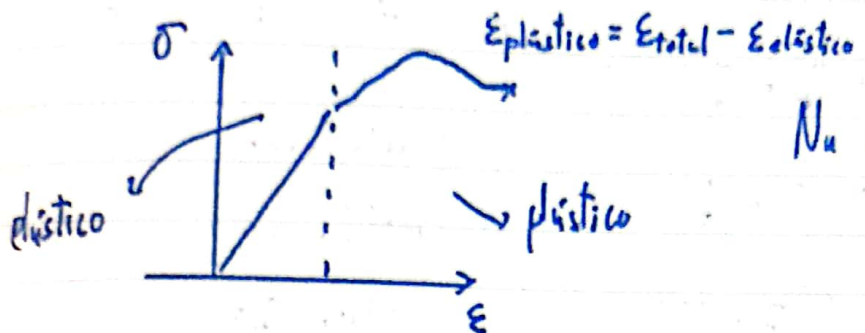


modulo de corte

$$\tau = G \gamma \quad (\text{tensão de corte})$$

Pura materiais elásticos e isotrópicos
(uniformes)

Modulo de Young: propriedade que mede a rigidez de um material

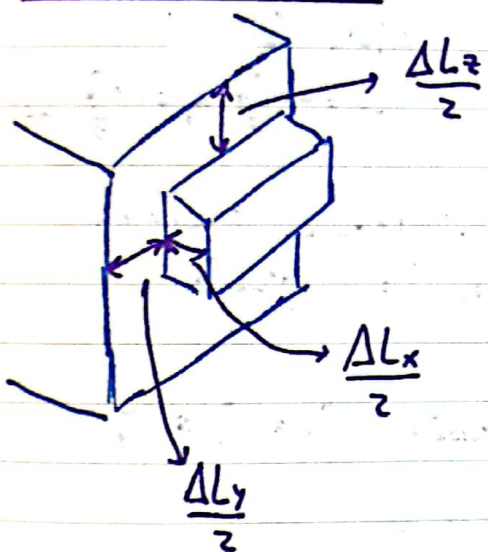


Na zona elástica:

$$\sigma = E \epsilon \text{ (Lei de Hooke)}$$

$E_{cimento} > E_{metal} >> E_{polimeros}$ + E + fortes

Modulo de Poisson

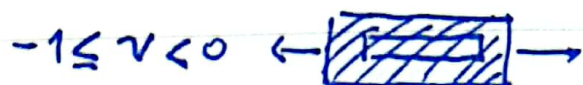


$\epsilon = \frac{\text{change in length}}{\text{original length}}$

$$\left. \begin{array}{l} \epsilon_x = \frac{\Delta L_x}{L_x} \\ \epsilon_y = -\frac{\Delta L_y}{L_y} \\ \epsilon_z = -\frac{\Delta L_z}{L_z} \end{array} \right\}$$

No caso de um esforço uniaxial $\Rightarrow \epsilon_y = \epsilon_x$

$$\frac{\epsilon_y}{\epsilon_x} = \frac{\epsilon_z}{\epsilon_x} = \nu = -\frac{\epsilon_{\text{lateral}}}{\epsilon_{\text{longitudinal}}}$$



Seu^o foi upomus esforço axial:

$$\Leftrightarrow \varepsilon_x = \frac{\sigma_x}{E} - \nu \frac{\sigma_y}{E} - \nu \frac{\sigma_z}{E}$$

$$\left\{ \begin{array}{l} \varepsilon_x = \frac{1}{E} [\sigma_x - \nu(\sigma_y + \sigma_z)] \\ \varepsilon_y = \frac{1}{E} [\sigma_y - \nu(\sigma_x + \sigma_z)] \\ \varepsilon_z = \frac{1}{E} [\sigma_z - \nu(\sigma_x + \sigma_y)] \end{array} \right.$$

Generalização
Hooke's Law

extensão: unidade de variação de volume (dilatação)

Volumétrica

$$\epsilon_v = \varepsilon_x + \varepsilon_y + \varepsilon_z$$

$$= \frac{1-2\nu}{E} (\sigma_x + \sigma_y + \sigma_z)$$

Para σ_x :

$$\varepsilon_x = \frac{\sigma_x}{E} \quad \varepsilon_y = -\nu \frac{\sigma_x}{E} \quad \varepsilon_z = -\nu \frac{\sigma_x}{E}$$

Para σ_y :

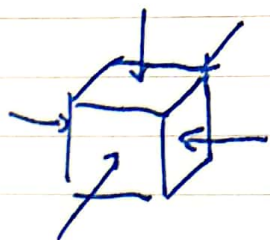
$$\varepsilon_x = -\nu \frac{\sigma_y}{E} \quad \varepsilon_y = \frac{\sigma_y}{E} \quad \varepsilon_z = -\nu \frac{\sigma_y}{E}$$

= Para σ_z :

$$\varepsilon_x = -\nu \frac{\sigma_z}{E} \quad \varepsilon_y = -\nu \frac{\sigma_z}{E} \quad \varepsilon_z = \frac{\sigma_z}{E}$$

Se $\nu = 0,5 \rightarrow \epsilon_v = 0 \Rightarrow$ volume permanece constante
(Material incompressível)

- Num elemento sob pressão hidrostática $\sigma_x = \sigma_y = \sigma_z$



$$\epsilon_v = -\frac{3(1-2\nu)}{E} P = -\frac{P}{K}$$

$$K = \frac{E}{3(1-2\nu)} \quad (\text{módulo de compressão})$$

A extensão volumétrica tem de ser negativa logo

$$0 < \nu < \frac{1}{2}$$

Ductilidade, Resiliência e Temacidade:

$\sigma_{\text{cedência}}$ → quando o corpo pôsso u ter deformação plástica

$\sigma_{\text{máxima}}$ → tensão máxima (quando area de seção diminui) inicio do cracking

σ_{ruptura} → tensão que de facto provoca a ruptura
($\sigma_{\text{máxima}} > \sigma_{\text{ruptura}}$) -> sempre

Materiais Ductéis (grande deformação)



→ resistência compressão ≈ resistência à tração



Materiais Frágeis (pouca deformação)



→ resistência compressão > resistência tração



• Ductilidade -abilidade de deformar plasticamente

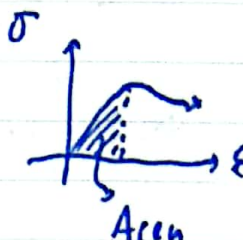
• Temacidade -abilidade de absorver energia até fratura

$$T = \int_0^{\sigma_{\text{ruptura}}} \sigma d\varepsilon \left(\frac{\text{energia}}{\text{volume}} \right)$$

$$Pa = \frac{N}{m^2} \cdot \frac{m}{m} = \frac{J}{m^3}$$

• Resiliência -abilidade de absorver energia quando se deforma elásticamente

$$U_R = \int_0^{\varepsilon_{\text{elástico}}} \sigma d\varepsilon$$



⚠ temperatura transição Ductil-Frágil (Titânio)

Tabelu apoiros e ligações (2D)

Dous conxectores



Rollers



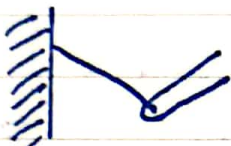
Rocket



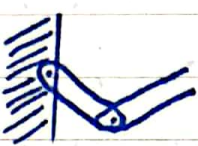
Frictionless surface



1 incognita



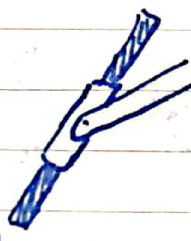
short cable



short link



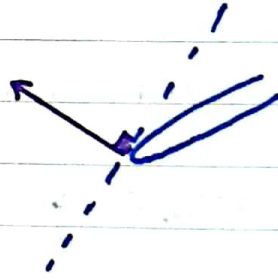
1 incognita



collar on
frictionless rod



Frictionless pin
in slot



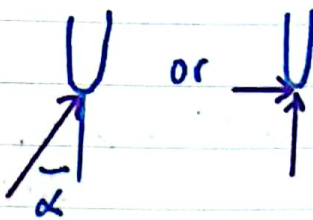
1 incognita



Frictionless pin
or hinge

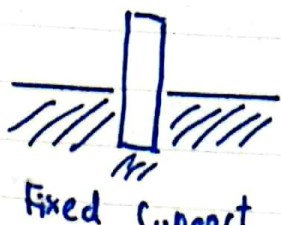


Rough Surface

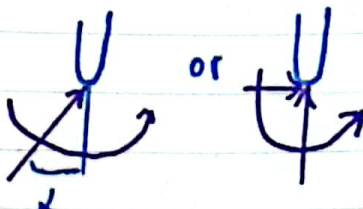


or

2 incognitas



Fixed Support



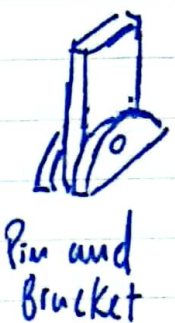
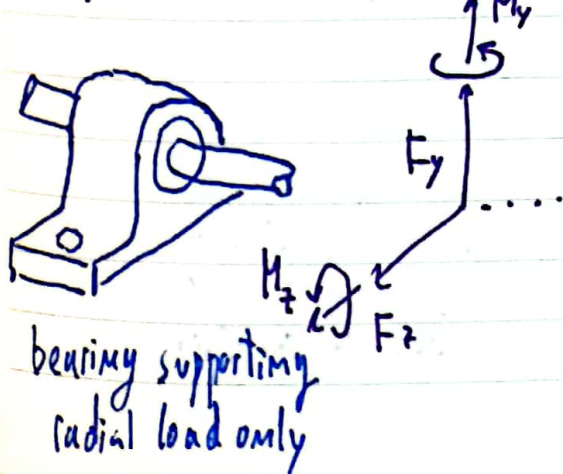
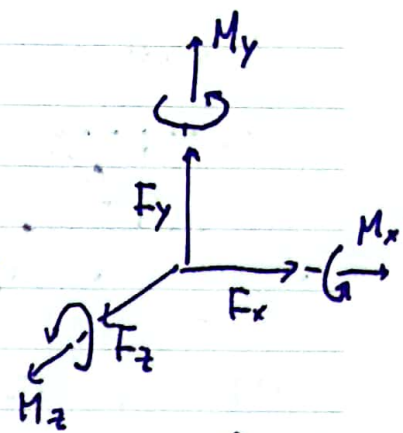
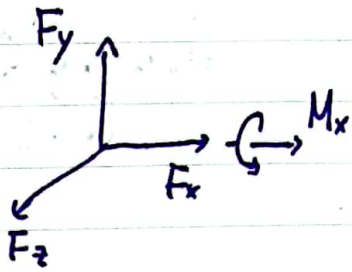
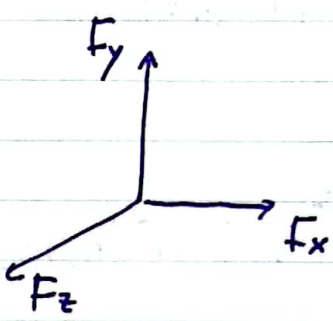
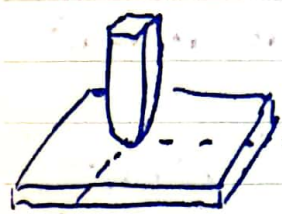
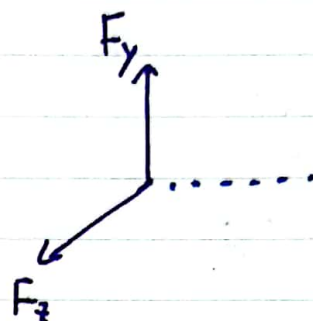
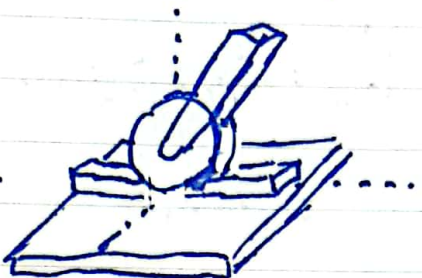
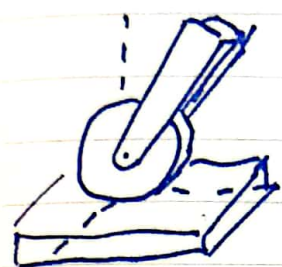
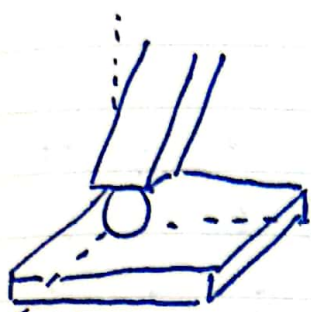
3 incognitas

1 incognita (Apoio Móvel)

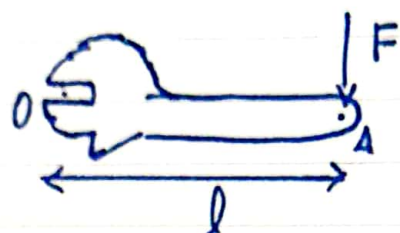
2 incognitas (Apoio Fixo)

3 incognitas (Ementamento)

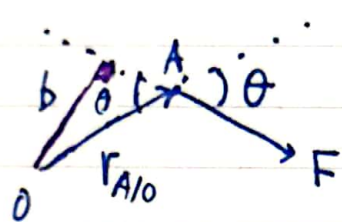
Tubete de apoios e ligações (3D)



Momento de uma força: tendência de uma força para curvar um corpo rígido rodar



$$M_O = \vec{r}_{AO} \times \vec{F} = \begin{vmatrix} e_x & e_y & e_z \\ x & y & z \\ F_x & F_y & F_z \end{vmatrix}$$



$$\| \vec{M}_O \| = r_{AO} \cdot F \sin \theta$$

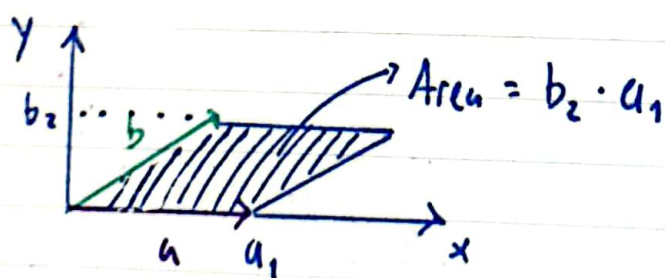
$$= b \cdot F$$

$$b \cdot \frac{\sin \theta}{r_{AO}} \quad \sin \theta \cdot r_{AO} = b$$

Quanto maior o braço da força menor força é necessária para o mesmo momento

Produto externo

Se $\vec{a}(a_1, 0, 0)$ $\vec{b}(b_1, b_2, 0)$ logo $(\vec{a} \times \vec{b}) = (0, 0, a_1 \cdot b_2)$



pelo definisão

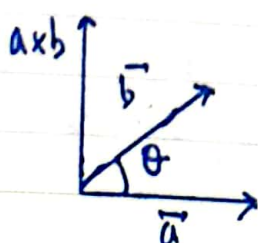
$$\begin{vmatrix} e_1 & e_2 & e_3 \\ a_1 & a_2 & a_3 \\ b_1 & b_2 & b_3 \end{vmatrix}$$

$$= (b_2 a_2 - b_2 a_3) \vec{e}_1 - (a_1 b_2 - a_1 b_3) \vec{e}_2 + (a_1 b_3 - a_1 b_2) \vec{e}_3$$

$$\| \vec{a} \times \vec{b} \| = a_1 \cdot b_2$$

logo a área do trapézio é o módulo do produto externo

Assim, conclui-se:



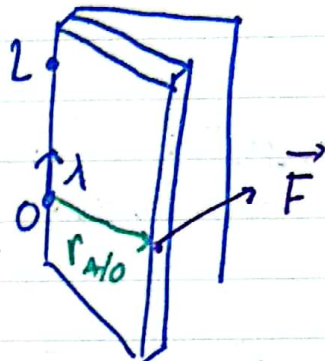
$$\| \vec{a} \times \vec{b} \| = \underbrace{\| \vec{a} \| \| \vec{b} \| \sin \theta}_{\text{área do trapézio}}$$

Angulo entre dois vetores:

$$\cos \theta = \frac{\mathbf{a} \cdot \mathbf{b}}{\|\mathbf{a} \cdot \mathbf{b}\|}$$

Momento de uma força a um eixo:

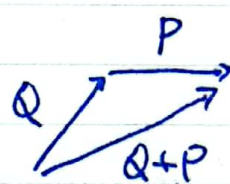
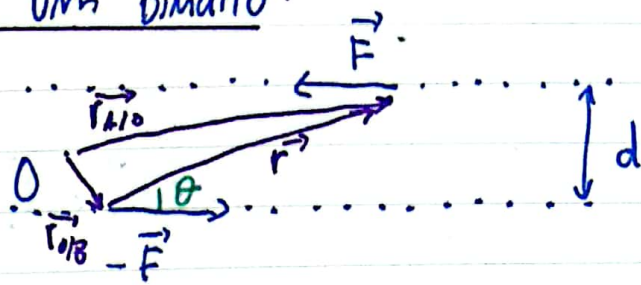
$$M_{OL} = M_0 \cdot \lambda$$
$$= (\mathbf{r} \times \mathbf{F}) \cdot \lambda$$



$$\lambda: \text{é o vetor unitário } OL \quad \lambda = \frac{\mathbf{r}_{OL}}{\|\mathbf{r}_{OL}\|}$$

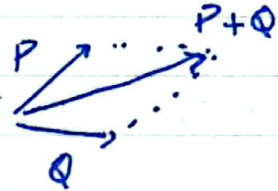
\mathbf{r} : vetor posição da força até ao ponto em OL
(qualquer ponto de OL até qualquer ponto da linha de ação de F)

Momento de um binário:



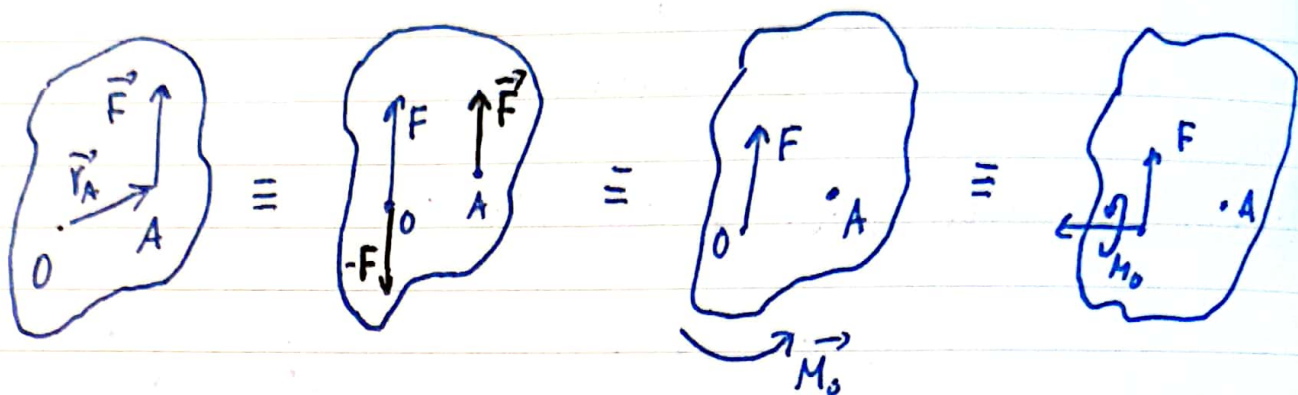
$$F_{\text{resultante}} = \vec{0}$$

$$\begin{aligned} \vec{M}_0 &= (\mathbf{r}_{A10} - \mathbf{r}_{B10}) \times \mathbf{F} \\ &= \mathbf{r} \times \mathbf{F} \\ &= d \cdot \mathbf{F} \end{aligned}$$



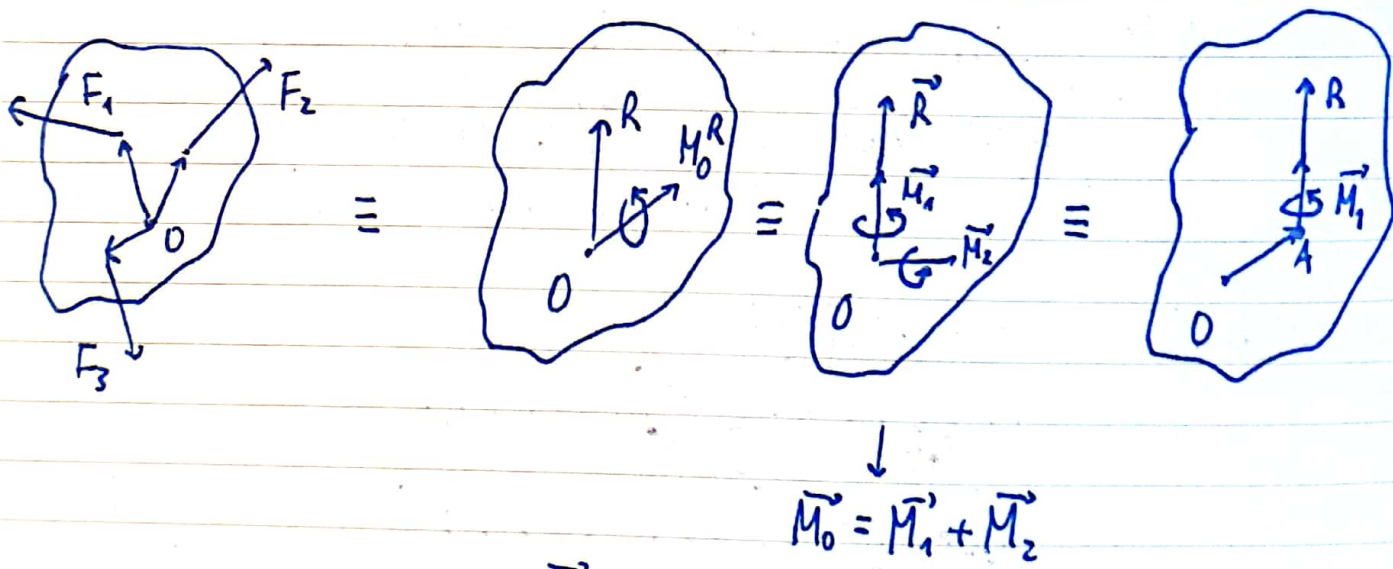
O momento não depende do ponto O

Decomposição de uma força dada numa força e um binário:



Conclusão: Um sistema de forças pode ser reduzido a uma força resultante e um momento resultante.

Conceito de Torsor:



$$\rightarrow \text{ponto do torsor: } p = \frac{\vec{M}_1}{\vec{R}}$$

\rightarrow eixo do torsor: o eixo que passa por A

$$\vec{M}_o = p\vec{R} + r \times \vec{R}$$

$$\vec{M}_1 = \left(\vec{M}_o \cdot \frac{\vec{R}}{\|\vec{R}\|} \right) \frac{\vec{R}}{\|\vec{R}\|}$$

Equações de equilíbrio a usar:

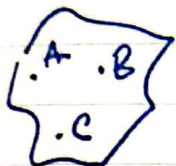
$$\sum F_x = 0 \quad \sum F_y = 0 \quad \sum M_o = 0 \quad (1)$$

ou

$$\sum F_x = 0 \quad \sum M_A = 0 \quad \sum M_B = 0 \quad (2) \text{ desde que linha AB não seja paralela ao eixo do } y$$

ou

$$\sum M_A = 0 \quad \sum M_B = 0 \quad \sum M_C = 0 \quad (3), \text{ desde que A, B, C não estejam em linha reta}$$

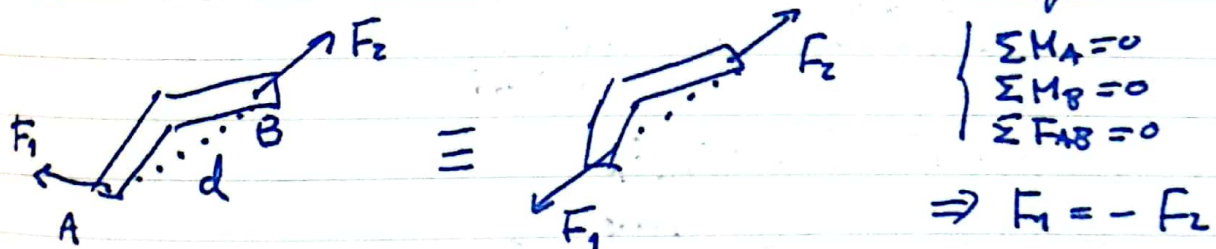


> 3 incógnitas \Rightarrow corpo estaticamente indeterminado

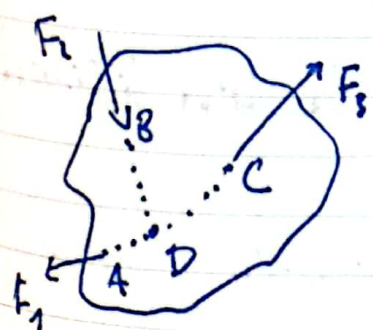
< 3 incógnitas \Rightarrow corpo estaticamente determinado

Uso particular (Corpo submetido a duas forças):

↳ mesma magnitude



Uso particular (Corpo submetido a três forças):



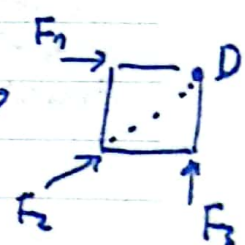
Todas linhas de ação concorrentes no mesmo ponto

① traçar ponto de intersecção entre duas forças (neste caso F_1 e F_2)

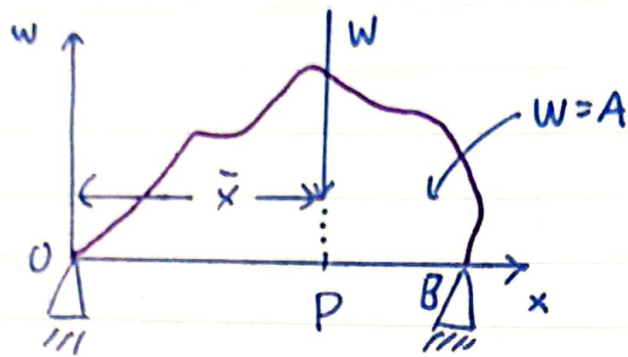
② $\sum M_D = 0$

$$\Leftrightarrow M_{F_1/A} + M_{F_2/B} + M_{F_3/C} = 0$$

$$\Leftrightarrow M_{F_3/C} = 0$$



Forças distribuídas



força resultante

$$W = \int_0^B w(x) dx$$

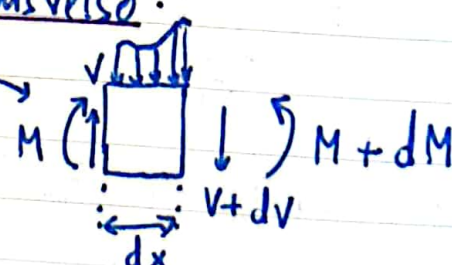
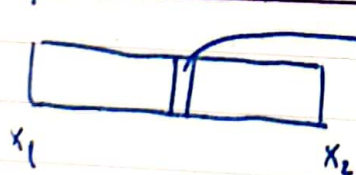
$$M_0 = \bar{x} \cdot W = \int_0^B x \cdot w(x) dx$$

$$\Rightarrow \bar{x} = \frac{\int_0^B x \cdot w(x) dx}{W}$$

$$\Rightarrow \bar{x} = \frac{\int x \cdot w(x) dx}{\int w(x) dx}$$

↓ componente
x do centro
de gravidade ou ponto de
aplicação

Esfogo e Momento Transverso:



$$\sum M_n \quad \text{at } v \quad \text{and } v'$$

Variância tensão corte $V_2 - V_1 = - \int_{x_1}^{x_2} w dx$ (Aren da força distribuída)

Variância momento transverso

$$M_2 - M_1 = \int_{x_1}^{x_2} V dx \quad (\text{Aren do esfogo transverso})$$

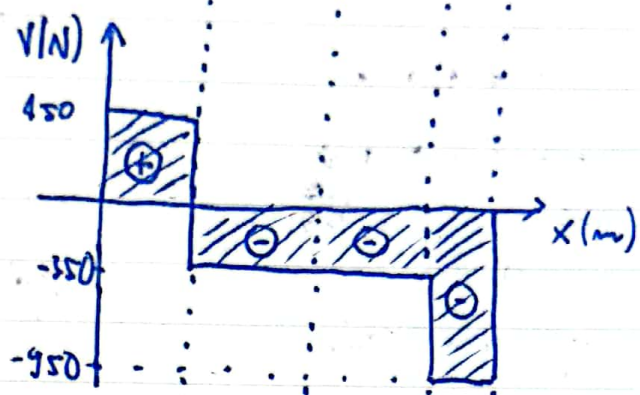
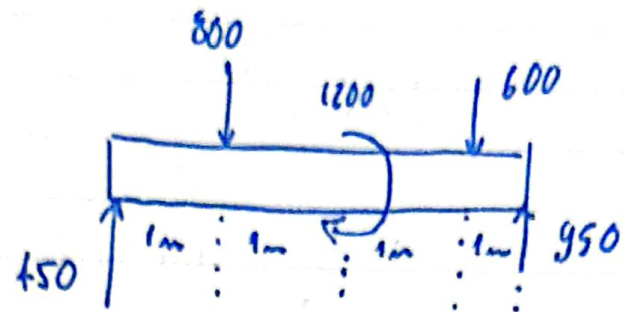
$$\frac{dV}{dx} = -w$$

$$\frac{dM}{dx} = V$$

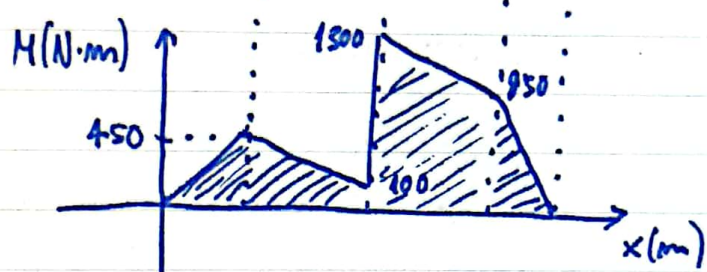
$$V(x) = \int w(x) dx$$

$$M(x) = \int V(x) dx$$

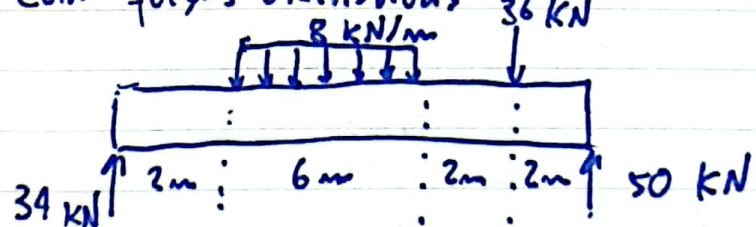
exemplo:



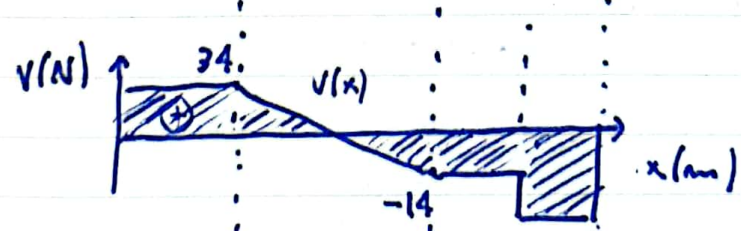
- ⊕ - declive positivo
- ⊖ - declive negativo



exemplo: com forças distribuídas



$$V(x) = -8x + 34$$

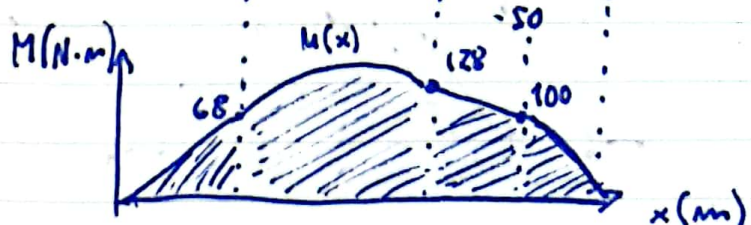


$$M(x) = \int V(x)$$

$$= -4x^2 + 34x + C$$

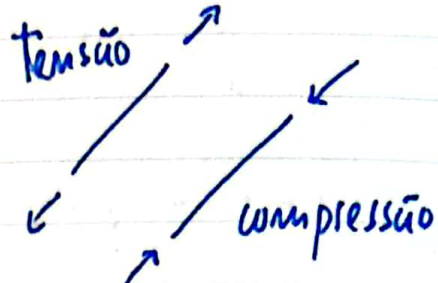
$$C = 68$$

$$\text{logo } M(x) = -4x^2 + 34x + 68$$

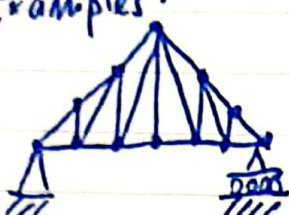


Trelíças:

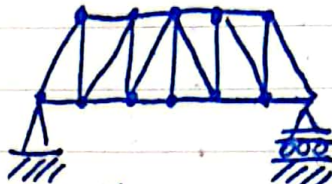
- { - curgas apenas nos nós
- conectados por nós



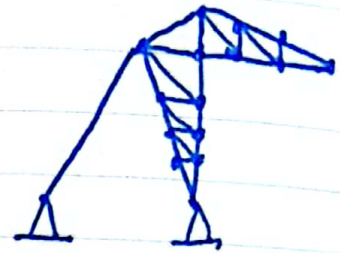
Exemplos:



Pratt
(típico em telhados)



Howe
(típico em pontes)

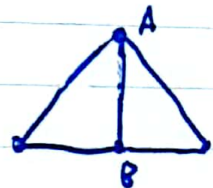


(típico nos estádios)

Membros de zero força:



figura geométrica
estável



Servem para dar estabilidade

$$\Delta B = 0$$

Método dos nós:

① Diagrama Corpo livre

② Calcular forças mó a mó

$$\sum F_x = 0$$

$$\sum F_y = 0$$

ou

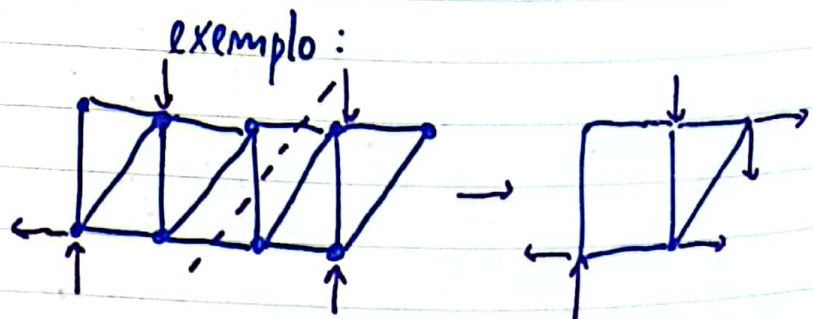
triângulo forças

Método dos cortes:

① Diagrama Corpo livre

② Cortar a Trelíça

③ Calcular forças mó a mó



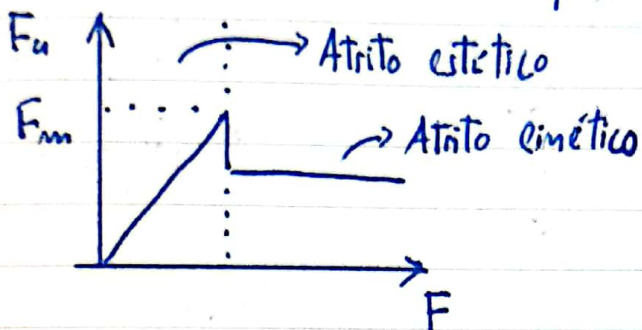
Em 2D: m mós $\Rightarrow 2m$ eqs. equilíbrio ou $2m = m + l$

↑
burras ↑
ligações

Em 3D: m mós $\Rightarrow 3m$ eqs. equilíbrio ou $3m = m + l$

Atrito:

- seco - superfícies não lubrificadas
- viscoso - cumeadas de fluido

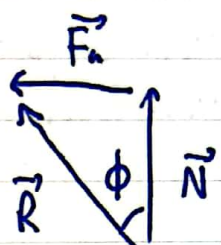


$$F_m = \mu_e N$$

coeficiente atrito
estático

$$F_c = \mu_c N$$

coeficiente atrito
cinético



$\phi < \phi_e$: sem movimento

$\phi = \phi_e$: iminência de movimento ($F_a = F_m$)

$\phi = \phi_k$: corpo em movimento

$$\tan \phi_e = \frac{F_m}{N} = \frac{\mu_e N}{N} = \mu_e$$

$$\Rightarrow \phi_e = \arctan(\mu_e)$$

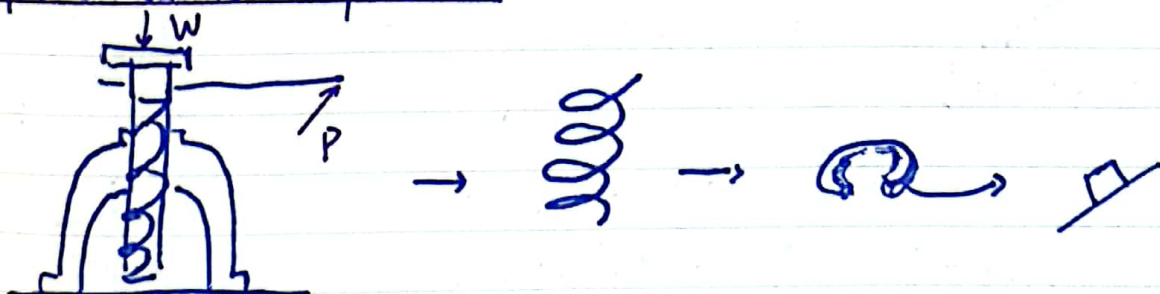
(Na iminência)

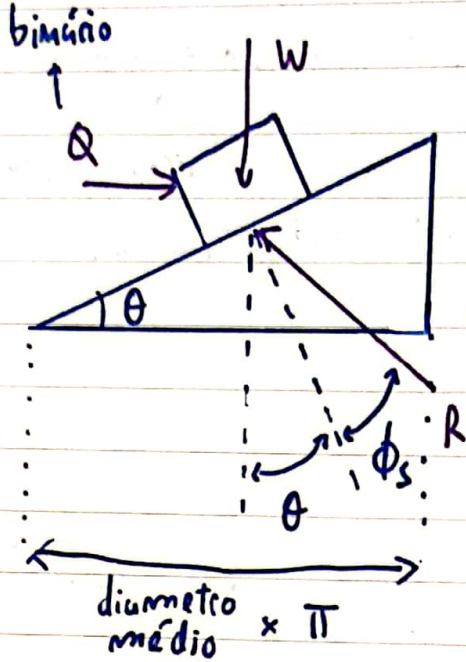
$$\tan \phi_c = \mu_c$$

$$\Rightarrow \phi_c < \arctan(\mu_c)$$

(Em movimento)

Purafusos de rosca quadrada





$$\theta = \tan^{-1} \left(\frac{\text{passo}}{\text{d. médio}} \right)$$

Passo
(o qnt sobrando)
máxima rotação

$$\sum M_0 = 0 \Rightarrow -rQ + lP = 0$$

$$\Rightarrow Q = \frac{l}{r} P$$

$$\Rightarrow Q \frac{d}{2} = lP$$

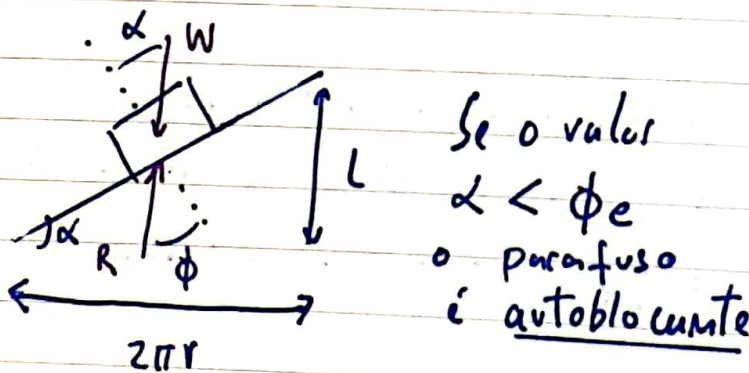
$$\Rightarrow \text{Torque} = Q \frac{d}{2}$$

N.t.:

Rosca simples: passo = aramado

Rosca dupla: 2 passo = aramado

...



Se o valor
 $\alpha < \phi_e$
o parafuso
é autoblocante

$$\Rightarrow \phi = \alpha$$

Chumaceiros radiais:



$$\sum M_0 = 0$$

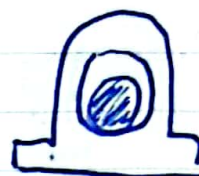
$$\Leftrightarrow -M + r \frac{\sin \phi_c R}{F_N} = 0$$

$$\Leftrightarrow M = r \sin \phi_c R$$

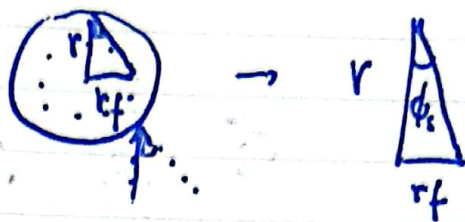
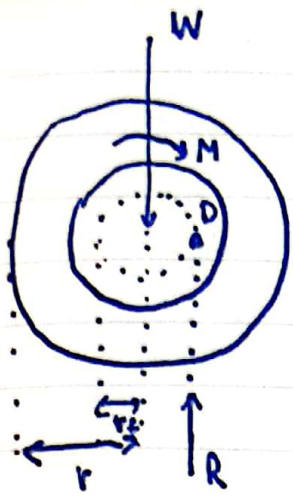
$$\phi_c \approx 0 \Leftrightarrow \Leftrightarrow M = r \tan \phi_c R$$

$$\Leftrightarrow M = r \mu_e R$$

chumaceiros: apoios laterais av uitais em veios e lihos



↓
posição de
equilíbrio

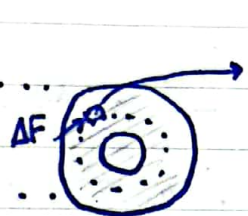
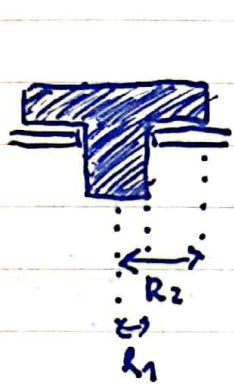


$$rf = r \sin \phi_c$$

$$\phi_c \approx 0 \Leftrightarrow rf \approx r \tan \phi_c$$

$$\phi_c \approx 0 \Leftrightarrow rf \approx r \mu_e$$

Chumucirus axialis:



$$\Delta A = r dr d\theta \rightarrow \Delta A = r dr d\theta$$

$$\Delta N = N \cdot \frac{\Delta A}{A} = P \frac{\Delta A}{A} = P \cdot \frac{r dr d\theta}{\pi(R_2^2 - R_1^2)}$$

$$\Delta F_u = \mu_c \Delta N$$

ou

$$\rightarrow \Delta M = r \cdot \Delta F$$

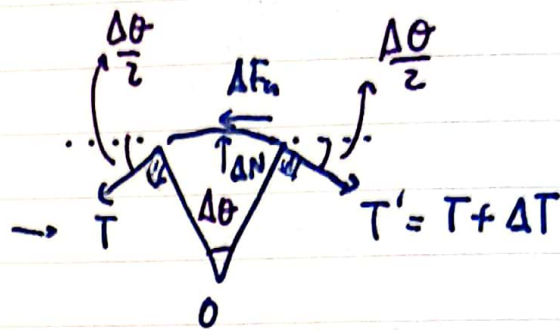
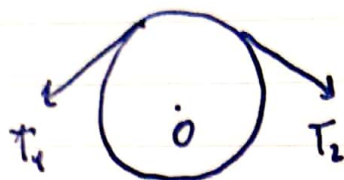
$$= \frac{r^2 \mu_c P dr d\theta}{\pi(R_2^2 - R_1^2)}$$

$$\rightarrow M_a = \iint_A \Delta M = \int_0^{2\pi} \int_{R_1}^{R_2} \frac{r^2 \mu_c P}{\pi(R_2^2 - R_1^2)} dr d\theta$$

(=)

$$M_a = \frac{2}{3} \mu_c P \frac{R_2^3 - R_1^3}{R_2^2 - R_1^2}$$

Atrito em correia:



$$\left\{ \begin{array}{l} \sum F_x = 0 \\ \sum F_y = 0 \end{array} \right. \quad (\Rightarrow) \quad \left\{ \begin{array}{l} -T \cos \frac{\Delta\theta}{2} - \Delta F + (T + \Delta T) \cos \frac{\Delta\theta}{2} = 0 \\ -T \sin \frac{\Delta\theta}{2} + \Delta N - (T + \Delta T) \sin \frac{\Delta\theta}{2} = 0 \end{array} \right.$$

$$(\Rightarrow) \quad \left\{ \begin{array}{l} \Delta F = \Delta T \cos \frac{\Delta\theta}{2} \\ \Delta N = (2T + \Delta T) \sin \frac{\Delta\theta}{2} \end{array} \right. \quad \Delta F = \mu_c \Delta N \quad (\Leftrightarrow) \quad \Delta T \cos \frac{\Delta\theta}{2} = \mu_c (2T + \Delta T) \sin \frac{\Delta\theta}{2} \quad (\Leftrightarrow) \quad \frac{\Delta T}{\Delta\theta} \cos \frac{\Delta\theta}{2} = \mu_c \left(T + \frac{\Delta T}{2} \right) \sin \frac{\Delta\theta}{2}$$

$$(\Rightarrow) \quad \frac{dT}{d\theta} \cdot 1 = \mu_c \cdot T + \frac{\Delta\theta/2}{\Delta\theta/2}, \text{ assumindo } \cos \frac{\Delta\theta}{2} \approx 1 \quad \frac{1}{\Delta T} \ll T$$

$$(\Rightarrow) \quad \frac{dT}{d\theta} = \mu_c T$$

$$\sin \frac{\Delta\theta}{2} \approx \frac{\Delta\theta}{2}$$

$$(\Rightarrow) \quad \frac{1}{T} dT = \mu_c d\theta$$

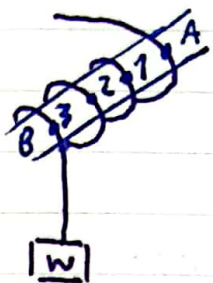
Considerando $\theta = 0 \quad T = T_1$
 $\theta = \beta \quad T = T_2$

$$\int_{T_1}^{T_2} \frac{1}{T} dT = \int_0^\beta \mu_c d\theta$$

$$(\Rightarrow) \quad \boxed{\frac{T_2}{T_1} = e^{\mu_c \beta}}$$

T_2 é sempre a tensão maior
 β é em rad/s

β pode ser superior a 2π se a correia enrolada várias vezes no veio



$$\Delta_\theta = 3$$

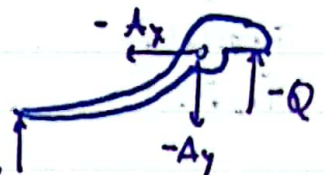
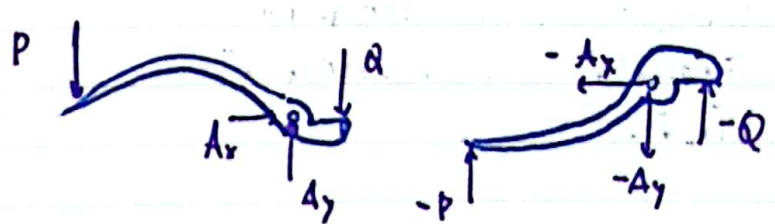
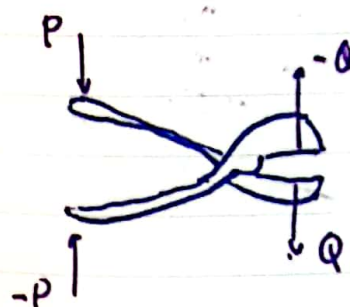
$$\beta = (2\pi) \cdot 3 + \frac{\pi}{2}$$

Estruturas e máquinas:

↓ ↓
Suportar forças transmitir e modificar forças

- ① vir os membros de duas forças
- ② vir membros multiforças

Uma máquina tem pelo menos um membro com +3 forças



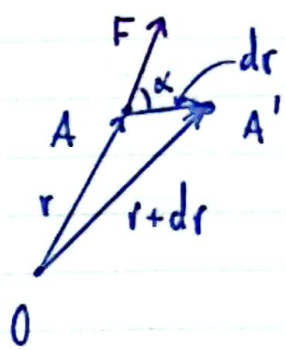
Método dos trabalhos virtuais: método eficaz na resolução de problemas de equilíbrio de corpos rígidos

$$R=0 \Rightarrow U=0$$

O trabalho da força \vec{F} no deslocamento $d\vec{r}$ é definido pelo produto interno:

$$dU = \vec{F} \cdot d\vec{r}$$

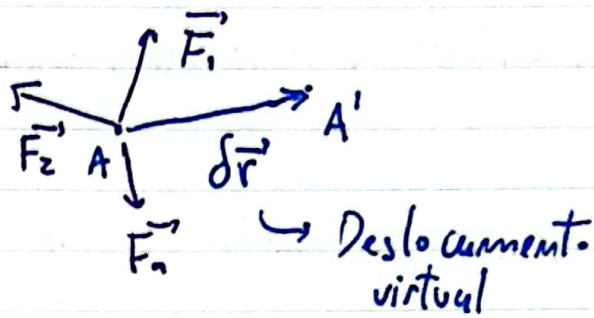
$$\hookrightarrow dU = |\vec{F}| \cdot |d\vec{r}| \cos \alpha$$



$$[U] = J \text{ (joule)} \quad (1J = 1 \text{ N} \cdot \text{m})$$

Princípio dos trabalhos virtuais:

Considera-se uma partícula com várias forças $\vec{F}_1, \vec{F}_2, \dots, \vec{F}_n$ aplicadas que pode sofrer um deslocamento $\delta\vec{r}$ no seu movimento de A para A' .



- O Trabalho virtual é dado por

$$\delta U = \delta U_1 + \delta U_2 + \dots + \delta U_n$$

$$\Leftrightarrow \delta U = (\vec{F}_1 + \vec{F}_2 + \dots + \vec{F}_n) \cdot \delta\vec{r}$$

$$\Leftrightarrow \delta U = \vec{R} \cdot \delta\vec{r}$$

Corpo em equilíbrio:
 1) $\vec{R} = \vec{0} \Rightarrow \delta U = 0$
 2) $\delta U = 0$ logo $\vec{R} \cdot \delta\vec{r} = \vec{0} \cdot \delta\vec{r} = 0$

Princípio: Se uma partícula está em equilíbrio o trabalho virtual das forças que atuam na partícula é nulo, para qualquer deslocamento virtual da partícula.

Exemplo:

$$\delta U = \delta U_{Ax} + \delta U_{Ay} + \delta U_p + \delta U_N + \delta U_Q$$

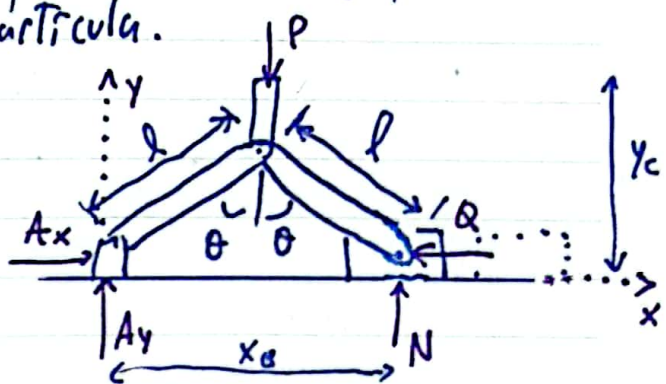
$$= -Q \delta x_B - P \delta y_C$$

$$= -Q(2l \omega \delta \theta) - P(-l \sin \theta \delta \theta)$$

$$= 2l [P \sin \theta - Q \cos \theta] \delta \theta$$

$$\Rightarrow Q = \frac{P}{2} \tan \theta$$

$\delta U = 0$ / princípio trabalho virtual



A é um ponto fixo

B move-se horizontalmente

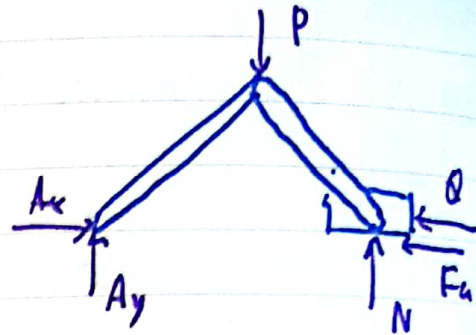
$$x_B = 2l \sin \theta \Rightarrow x_B = x_B(\theta)$$

$$\Rightarrow \delta x_B = \frac{\partial x_B}{\partial \theta} \delta \theta = 2l \cos \theta \delta \theta$$

$$y_C = l \cos \theta \Rightarrow \delta y_C = -l \sin \theta \delta \theta$$

Rendimento Mecânico:

Acrescentando atrito ao exemplo anterior



Trabalho de saída < trabalho de entrada

$$\delta U = \sum \delta U_{A_x} + \sum \delta U_{A_y} + \sum \delta U_P + \sum \delta U_N + \sum \delta U_Q + \sum \delta U_F$$

$$= \delta U_P + \delta U_Q + \delta U_F$$

$$= l [P \sin \theta - Q \cos \theta - F_a \cos \theta] \delta \theta$$

$$\delta U = 0$$

$$\Rightarrow Q = \frac{P \sin \theta - Z F_a \cos \theta}{Z \cos \theta} \Rightarrow Q = \frac{P}{Z} (\tan \theta - \mu)$$

Rendimento mecânico de uma máquina:

$$\eta = \frac{\text{trabalho de saída}}{\text{trabalho de entrada}}$$

Neste exemplo,

$$\eta = \frac{\delta U_Q}{\delta U_P} = 1 - \mu \cot \theta$$

Trabalho de uma força num deslocamento finito:

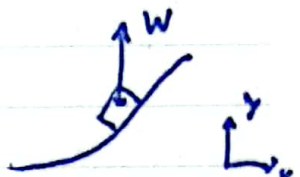
$$dU = F \cos \alpha \, ds$$

$$U_{1 \rightarrow 2} = \int_{s_1}^{s_2} F \cos \alpha \, ds = \int_{\theta_1}^{\theta_2} M \, d\theta$$

$$U = \int F \cos \alpha \, ds$$

Se F for constante

$$U_{1 \rightarrow 2} = F(s_2 - s_1) = M(\theta_2 - \theta_1)$$



Trabalho da força gravitacional:

$$dU = -W \, dy \Rightarrow U_{1 \rightarrow 2} = -W \int_{y_1}^{y_2} dy = -W \Delta y$$

O trabalho é positivo quando $\Delta y < 0$

$$U_w = -W \Delta y \\ = mg(h_f - h_i)$$

Trabalho da força elástica:



$$F = K \Delta x \quad (\text{experimentalmente verifica-se esta proporcionalidade})$$

↳ constante do mola, $[K] = N/m$

$$\begin{cases} d\vec{r} = dx \hat{e}_x \\ \vec{F} = -F \hat{e}_x \end{cases} \Rightarrow dU = -F dx = -K x \, dx$$

$$U_{1 \rightarrow 2} = - \int_{x_1}^{x_2} K x \, dx = \frac{1}{2} K x_1^2 - \frac{1}{2} K x_2^2$$

$$U_e = -\frac{1}{2} K (x_f^2 - x_i^2)$$

Energia Potencial

O trabalho das forças gravitárias e elásticas não depende do caminho percorrido mas apenas das posições inicial e final: forças conservativas

Surge conceito de energia potencial:

Energia potencial gravitacional: $U_{1 \rightarrow 2} = mg(y_1 - y_2) = (V_g)_1 - (V_g)_2$

Energia potencial elástica: $U_{1 \rightarrow 2} = \frac{1}{2}K(x_1 - x_2) = (V_E)_1 - (V_E)_2$

$$V_g = mgy \quad V_E = \frac{1}{2}Kx^2$$

Equilíbrio e estabilidade $\delta U = -\delta V \quad W_{fg} = -\Delta E_{pg}$

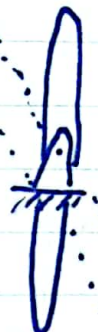
"Se um sistema conservativo está em equilíbrio, a derivada da sua energia potencial é nula!"



Equilíbrio Estável

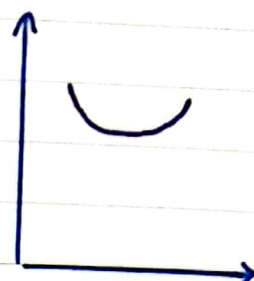


Equilíbrio Instável

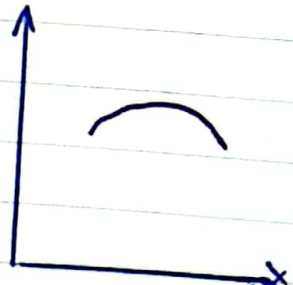


Equilíbrio Neutro

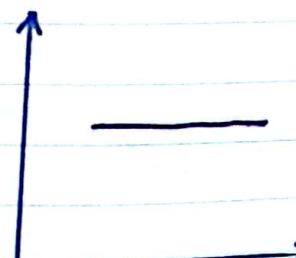
$$\Rightarrow \delta V = \frac{dV}{d\theta} \cdot \delta\theta$$



$$\frac{dV}{d\theta} = 0 \quad \text{e} \quad \frac{d^2V}{d\theta^2} > 0$$

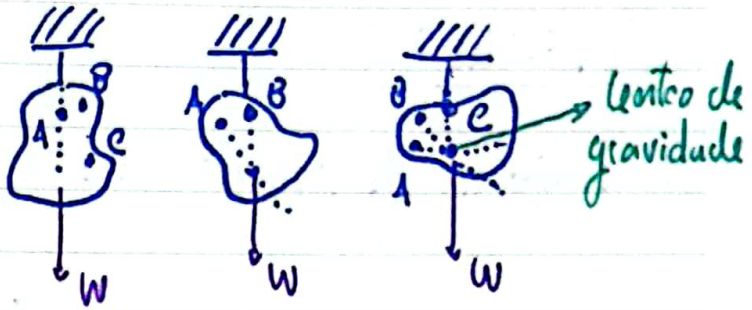


$$\frac{dV}{d\theta} = 0 \quad \text{e} \quad \frac{d^2V}{d\theta^2} < 0$$



$$\frac{dV}{d\theta} = 0 \quad \text{e} \quad \frac{d^2V}{d\theta^2} = 0$$

Centro de gravidade:



• Não temos um único centro de gravidade pois as forças gravitacionais não são paralelas e variam com o inverso do quadrado da distância (no Everest a força da gravidade é mais pequena)

Sendo $\vec{P} \approx \int d\vec{P}$ com que $\vec{P} = -P\vec{e}_y$ ($P = m_g$)
 ↳ forças gravitacionais

Momento em relação ao eixo x:

$$\Rightarrow \bar{x}P = \int x dP \Rightarrow \bar{x} = \frac{\int x dP}{P}$$

$$\Rightarrow \boxed{\bar{x} = \frac{\int x dP}{P}; \bar{y} = \frac{\int y dP}{P}; \bar{z} = \frac{\int z dP}{P}}$$

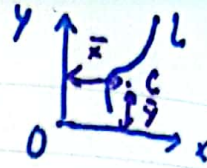
Como $P = mg$ e $dP = g dm$ temos o centro de massa:

$$\Rightarrow \boxed{\bar{x} = \frac{\int x dm}{m}; \bar{y} = \frac{\int y dm}{m}; \bar{z} = \frac{\int z dm}{m}}$$

Sendo $\rho = \frac{m}{V}$ onde ρ é a massa específica/densidade $\Rightarrow dm = \rho dV$
 Se ρ for constante; temos a definição de centroíde:

$$\boxed{\bar{x} = \frac{\int_V x dV}{\int_V dV}; \bar{y} = \frac{\int_V y dV}{V}; \bar{z} = \frac{\int_V z dV}{V}}$$

Centroides:

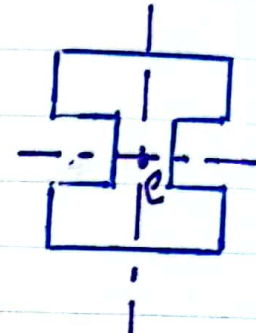
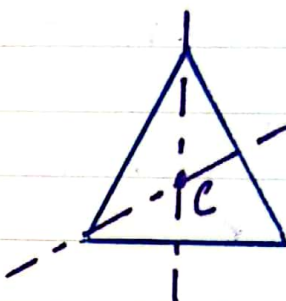


1) Centroides de linhas: $\bar{x} = \frac{\int x dL}{L}$; $\bar{y} = \frac{\int y dL}{L}$; $\bar{z} = \frac{\int z dL}{L}$

2) Centroides de superfícies: $\bar{x} = \frac{\int x dA}{A}$; $\bar{y} = \frac{\int y dA}{A}$; $\bar{z} = \frac{\int z dA}{A}$

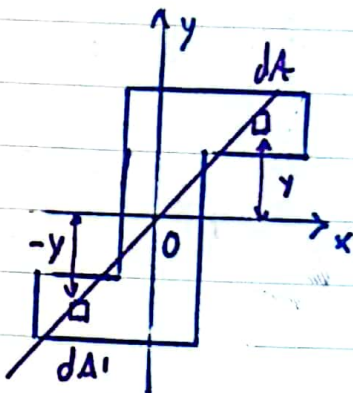
$\int x dA$ - Momento estatíco

ou momento de 1^ª ordem
em relação ao plumo yz



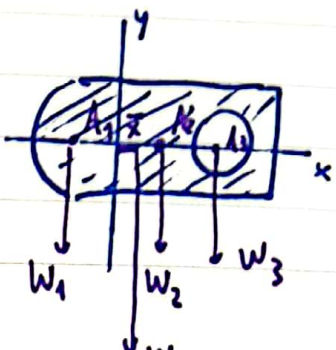
• Se a sup. ou linha possui dois eixos de simetria o centroide encontra-se na intersecção

• Se para cada elemento dA da sup e coordenadas (x, y) , existe um elemento $(-x, -y)$ logo $\int x dA + \int y dA = 0$ e centroide coincide com ponto 0



3) Centroides de volumes: $\bar{x} = \frac{\int x dV}{V}$; $\bar{y} = \frac{\int y dV}{V}$; $\bar{z} = \frac{\int z dV}{V}$

Regras dos Corpos Compostos



$$W = W_1 + W_2 - W_3$$

$$\Rightarrow \bar{x} \cdot W = \bar{x}_1 \cdot W_1 + \bar{x}_2 \cdot W_2 - \bar{x}_3 \cdot W_3$$

$$\boxed{1} + \boxed{2} - \boxed{3}$$

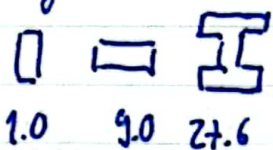
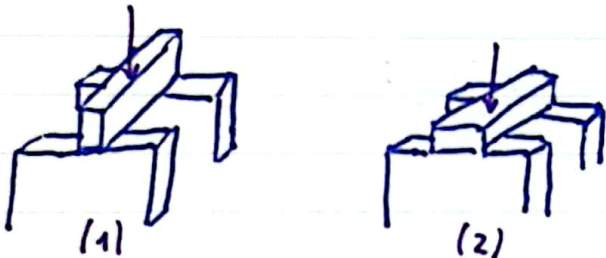
Tabela

	\bar{x}_i	\bar{y}_i	\bar{z}_i	A_i	$\bar{x}_i A_i$	$\bar{y}_i A_i$	$\bar{z}_i A_i$
corpo 1							
corpo 2							
corpo 3							
Σ							

$$\Sigma A_i \quad \Sigma \bar{x}_i A_i \quad \Rightarrow \bar{x} = \frac{\Sigma \bar{x}_i A_i}{\Sigma A_i}$$

Momento de inércia de Área (Momento de 2ª ordem):

(superfície) Resistência da área de seção à curvatura (unilínea vigas e vigas)



No uso (2) a barra vai curvar mais, porque tem o seu material mais perto do eixo de curvatura.



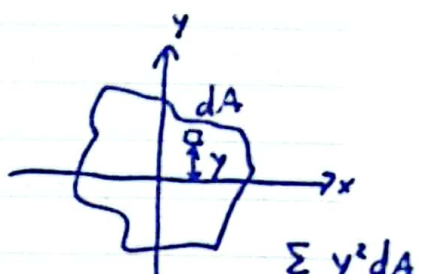
Ou seja, quanto maior a distância ao eixo, de todos os áreas de seção infinitesimalis, maior resistência à curvatura.

$$\Delta F = k_y \Delta A \Rightarrow F_R = \int k_y dA$$

$$M = \int k_y^2 dA$$

$$\text{Momento de Inércia} \Leftrightarrow M = K \int y^2 dA \text{ (kg m}^2\text{)}$$

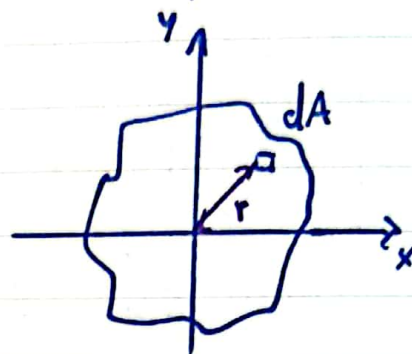
$$\text{Momento de Inércia de Área} \left\{ \begin{array}{l} I_x = \int y^2 dA \\ I_y = \int x^2 dA \end{array} \right. \text{ (mm}^4\text{)}$$



$\sum y^2 dA$
Distância ao eixo de todos os áreas infinitesimalis

Momento polar de inércia: momento de inércia da área A em relação ao eixo polar z

$$\rho^2 = x^2 + y^2$$



distância da área
de referência ao eixo z

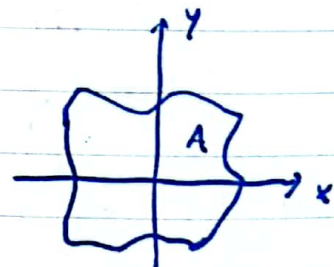
$$J = \int \rho^2 dA$$

$$= \int x^2 + y^2 dA$$

$$= \int x^2 dA + \int y^2 dA \Rightarrow J = I_x + I_y$$

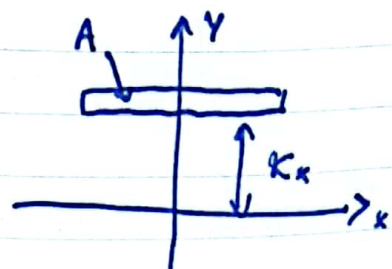
Raio de Giracão de uma Superfície:

- Considerando uma superfície com área A
- $I_x = \int y^2 dA$



- Para substituir a sup. A por uma faixa estreita paralela ao eixo x com a mesma área da sup A, deve ser colocada a uma dist. K_x do eixo x:

$$I_x = K_x^2 \cdot A$$



Raio de giracão da sup A no eixo x: $K_x = \sqrt{\frac{I_x}{A}}$

Raio de giracão da sup. A no eixo y: $K_y = \sqrt{\frac{I_y}{A}}$

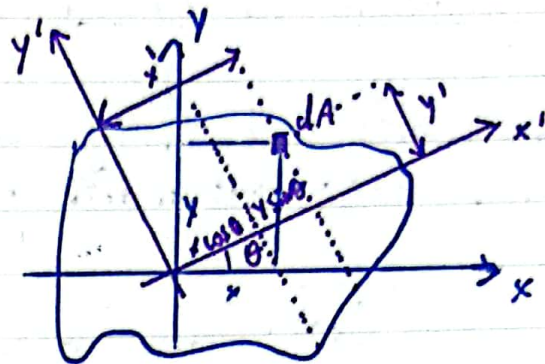
Raio de giracão polar: $K_z = \sqrt{\frac{J}{A}} \Rightarrow K_z^2 = K_x^2 + K_y^2$

Nota: $I_y = \int x^2 \rho dV = m K_y^2 \Rightarrow K_y = \sqrt{\frac{I_y}{m}}$

Eixos e Momentos Principais de Inércia:

$$\begin{cases} x = x' \cos \theta - y' \sin \theta \\ y = x' \sin \theta + y' \cos \theta \end{cases}$$

$$\Rightarrow \begin{cases} x' = x \cos \theta + y \sin \theta \\ y' = y \cos \theta - x \sin \theta \end{cases}$$



$$\Rightarrow \begin{cases} I_{x'} = \frac{I_x + I_y}{2} + \frac{I_x - I_y}{2} \cos 2\theta + I_{xy} \sin 2\theta \quad (1) \\ I_{y'} = \frac{I_x + I_y}{2} - \frac{I_x - I_y}{2} \cos 2\theta - I_{xy} \sin 2\theta \quad (2) \\ I_{x'y'} = -\frac{I_x - I_y}{2} \sin 2\theta + I_{xy} \cos 2\theta \quad (3) \end{cases}$$

$$\begin{cases} 1 \rightarrow (I_{x'} - \frac{I_x + I_y}{2})^2 = (\frac{I_x - I_y}{2})^2 \cos^2 2\theta + I_{xy}^2 \sin^2 2\theta + (I_x - I_y) I_{xy} \\ 3 \rightarrow (I_{x'y'})^2 = (\frac{I_x - I_y}{2})^2 \sin^2 2\theta + I_{xy}^2 \cos^2 2\theta - (I_x - I_y) I_{xy} \sin 2\theta \cos 2\theta \end{cases}$$

$$\Rightarrow (I_{x'} - \frac{I_x + I_y}{2})^2 + (I_{x'y'})^2 = (\frac{I_x - I_y}{2})^2 + I_{xy}^2$$

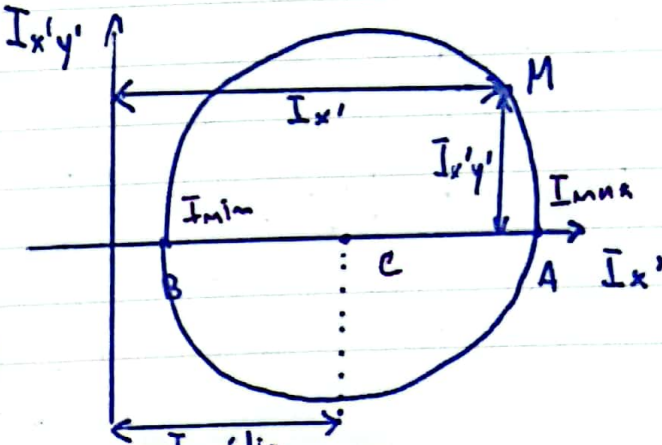
$$I_{\text{medio}} = \frac{I_x + I_y}{2} \quad R^2 = (\frac{I_x - I_y}{2})^2 + I_{xy}^2$$

$$\Rightarrow (I_{x'} - I_{\text{medio}})^2 + (I_{x'y'})^2 = R^2$$

Se $I_{x'y'} = 0$:

$$\tan 2\theta_m = \frac{2 I_{xy}}{I_x - I_y}$$

↑
Rotação para passar
pelo referencial principal
de inércia



Círculo
de Mohr

Obtendo as duas soluções de θ obtém-se os eixos principais de inércia (só sempre perpendiculares entre si)

Os momentos de inércia máximo e mínimo são designados por: momentos principais de inércia

$$\begin{aligned} (I_{x'} - I_{\text{med}})^2 + I_{x'y'}^2 &= R^2 \\ (I_{y'} - I_{\text{med}})^2 + I_{x'y'}^2 &= R^2 \end{aligned} \quad \left. \begin{array}{l} \text{P/ para } I_x \\ \text{e } I_y \end{array} \right.$$

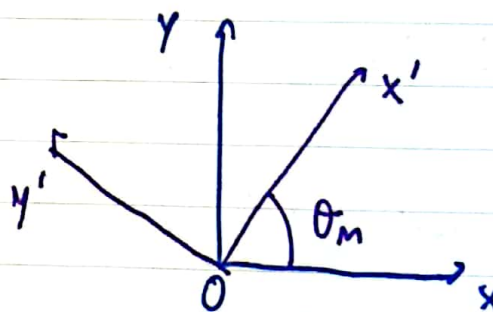
$$I_{\max, \min} = \frac{I_x + I_y}{2} \pm \sqrt{\left(\frac{I_x - I_y}{2}\right)^2 + I_{xy}^2} \quad \left. \begin{array}{l} I_{\max} = I_{\text{med}} + R \\ I_{\min} = I_{\text{med}} - R \end{array} \right.$$

Notas:

→ No referencial $x'y'$ rodado de θ_m :

$I_{x'}$ é mínimo

$I_{y'}$ é máximo



→ No ref. principal central de inércia o corpo apresenta o menor valor possível para o momento de inércia em relação a um eixo

→ No ref. $x'y'$ rodado de θ_m

$$I_{ij} = \begin{bmatrix} I_x & I_{xy} \\ I_{xy} & I_y \end{bmatrix} \rightarrow I_{i'j'} = \begin{bmatrix} I_{\min} & 0 \\ 0 & I_{\max} \end{bmatrix}$$

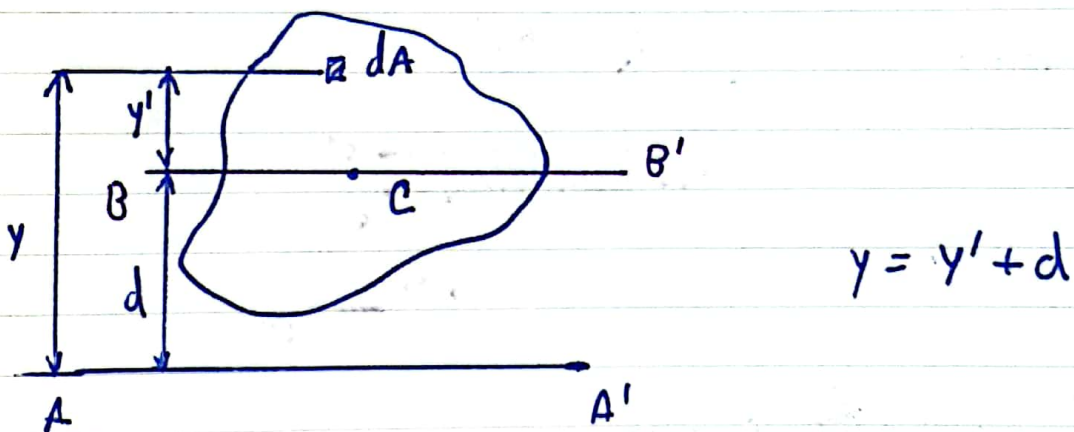
valeores próprios de I_{ij}

→ A 3D

Ref. xyz : $I_{ij} = \begin{bmatrix} I_x & I_{xy} & I_{xz} \\ I_{xy} & I_y & I_{yz} \\ I_{xz} & I_{yz} & I_z \end{bmatrix}$

Ref. x'y'z' : $I_{i'j'} = \begin{bmatrix} I_{x'} & 0 & 0 \\ 0 & I_{y'} & 0 \\ 0 & 0 & I_{z'} \end{bmatrix}$
↓
cálculo dos valores e vetores próprios

Teorema dos Eixos Paralelos:

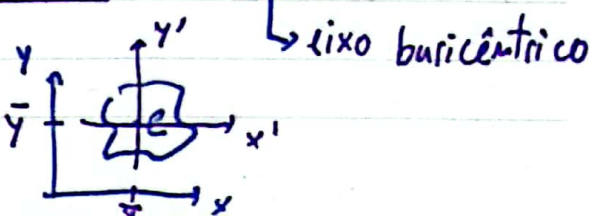


$$\begin{aligned} I_{AA'} &= \int_A y^2 dA = \int_A (y' + d)^2 dA = \int_A y'^2 dA + 2d \int_A y' dA + d^2 \int_A dA \\ &= I_{BB'} + 2dA\bar{y}' + d^2 A \quad , \quad \bar{y} = \frac{\int_A y' dA}{\int_A dA} \end{aligned}$$

Como BB' passa pelo centroide da sup A $\Rightarrow \bar{y}' = 0$

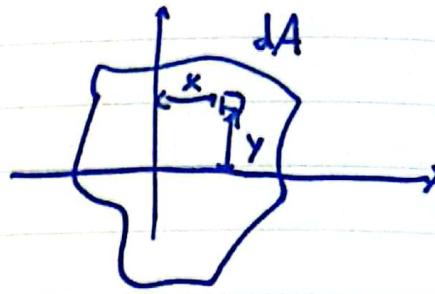
$$\Rightarrow I_{AA'} = I_{BB'} + A d^2$$

De forma genérica: $\begin{cases} I_x = \bar{I}_{x'} + A\bar{y}^2 \\ I_y = \bar{I}_{y'} + A\bar{x}^2 \end{cases}$



Produto de Inércia:

$$I_{xy} = - \int xy \, dA$$

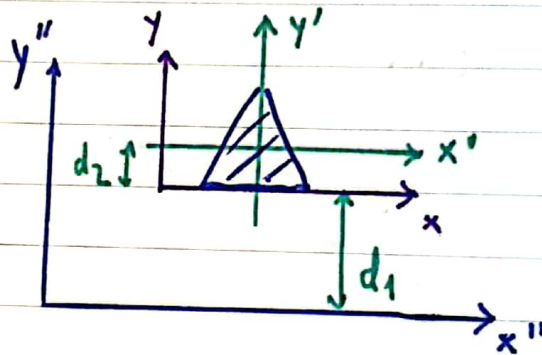


Tensor de Inércia:

$$\underline{I}_{ij} = \begin{bmatrix} I_{xx} & I_{xy} \\ I_{yx} & I_{yy} \end{bmatrix} = \begin{bmatrix} I_{11} & I_{12} \\ I_{21} & I_{22} \end{bmatrix} = \begin{bmatrix} I_{xx} & I_{xy} \\ I_{xy} & I_{yy} \end{bmatrix}$$

É possível deduzir que: $I_{xy} = I_{x'y'} - A\bar{x}\bar{y}$

Exemplo:



$$\left\{ \begin{array}{l} I_x = \bar{I}_{x'} + A d_2 \\ I_{x''} = \bar{I}_{x'} + A(d_1 + d_2)^2 \end{array} \right. \Rightarrow I_{x''} = I_x + A \underbrace{(d_1 + d_2)^2 - Ad_1^2}_{\neq Ad_1^2}$$

Momentos de Inércia para placas finas:

$$dm = \rho \, dV = \rho \cdot t \cdot dA$$

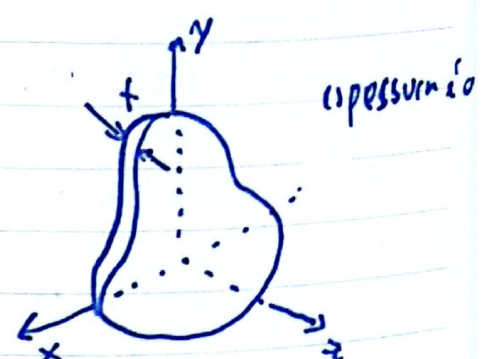
$$I_y = \int (x^2 + z^2) dm \approx \int x^2 dm \approx \rho t \int x^2 dA$$

$$I_x \approx \rho t \int y^2 dA$$

$$I_t = I_x + I_y$$

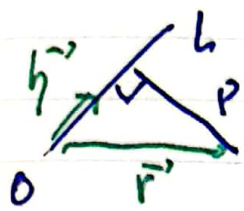
$$I_{xz} \approx 0 \quad I_{yz} \approx 0$$

$$I_{xy} = -\rho t \int xy \, dA$$



Basicamente é igual a todos os momentos de inércia de área

Momento de Inércia em relação a um eixo arbitrário:



$$\Rightarrow p r \sin \theta$$

$$\Leftrightarrow |\vec{h} \times \vec{r}|$$

$$I_{OL} = \int p^2 dm = \int |\vec{h} \times \vec{r}|^2 dm = \int [(h_y z - h_z y)^2 + (h_z x - h_x z)^2 + (h_x y - h_y x)^2] dm$$

$$\Leftrightarrow I_{OL} = I_x h_x^2 + I_y h_y^2 + I_z h_z^2 + 2 I_{xy} h_x h_y + 2 I_{xz} h_x h_z + 2 I_{yz} h_y h_z$$

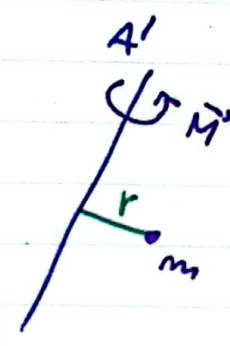
Momento de inércia de uma massa:

$a = \frac{F}{m}$, a massa puntual é uma medida da resistência do corpo ao movimento

Para a mesma massa puntual rodar em torno de um eixo AA', sob a aplicação de um binário M, a aceleração angular α é inversamente proporcional à sua massa e ao quadrado da distância r ao eixo AA':

$$\alpha = \frac{M}{(mr^2)} = \frac{M}{I}$$

O momento de Inércia I é uma medida da inércia do corpo ao movimento

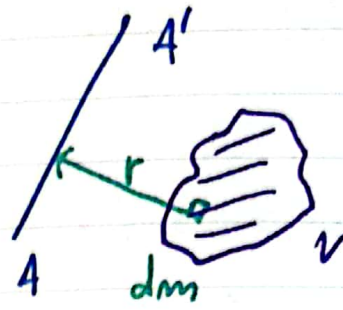


$$I = m r^2$$

$$\Rightarrow I = \int r^2 dm$$

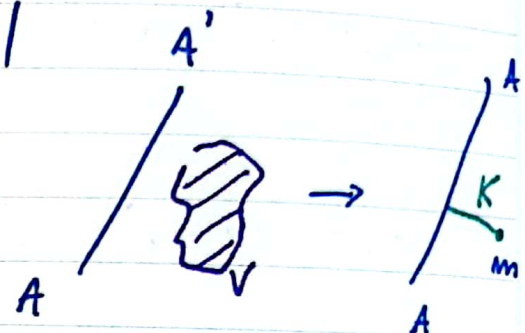
$$\Rightarrow I = \int \rho r^2 dV$$

$$dm = \rho dV$$



Para substituir para uma massa puntual

$$I = m k^2 \Rightarrow k = \sqrt{\frac{I}{m^2}}$$



Momentos de Inércia em relação nos eixos coordenados:

$$I_x = \int_V \rho (y^2 + z^2) dV \quad I_{xy} = - \int_V \rho xy dV$$

$$I_y = \int_V \rho (x^2 + z^2) dV \quad I_{xz} = - \int_V \rho xz dV$$

$$I_z = \int_V \rho (x^2 + y^2) dV \quad I_{yz} = - \int_V \rho yz dV$$

Teorema dos eixos paralelos:

$$I_x = I_{x'} + m (\bar{y}^2 + \bar{z}^2)$$

$$I_{xy} = \bar{I}_{x'y'} - m \bar{x} \bar{y}$$

$$I_y = I_{y'} + m (\bar{x}^2 + \bar{z}^2)$$

$$I_{xz} = \bar{I}_{x'z'} - m \bar{x} \bar{z}$$

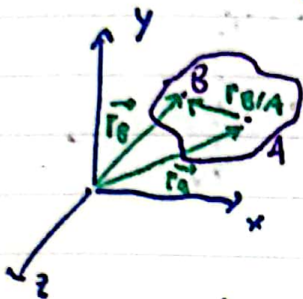
$$I_z = I_{z'} + m (\bar{x}^2 + \bar{y}^2)$$

$$I_{yz} = I_{y'z'} - m \bar{y} \bar{z}$$

Cinâmica dos corpos rígidos:



Translação: Qualquer linha reta no interior do corpo mantém a sua direção durante o movimento



Como o movimento é de translação, o vetor $\vec{r}_{B/A}$ é constante, logo $\frac{d\vec{r}_{B/A}}{dt} = \vec{0}$

$$\vec{v}_B = \frac{d\vec{r}_B}{dt} = \frac{d\vec{r}_A}{dt} + \frac{d\vec{r}_{B/A}}{dt} = \frac{d\vec{r}_A}{dt} = \vec{v}_A$$

$$\vec{a}_B = \frac{d\vec{v}_B}{dt} = \frac{d^2\vec{r}_B}{dt^2} = \vec{a}_A$$

Conclusão: Todos os partículas do corpo apresentam no mesmo instante a mesma velocidade e aceleração

Rotação em torno de um eixo:

Deslocamento de P: $\Delta s = \bar{BP} \cdot \Delta\theta$

$$\Leftrightarrow r \sin \phi \Delta\theta = \Delta s$$

$$v = \frac{ds}{dt} = r \sin \phi \frac{d\theta}{dt}$$

Sendo w a velocidade angular:

$$v = w r \sin \phi$$

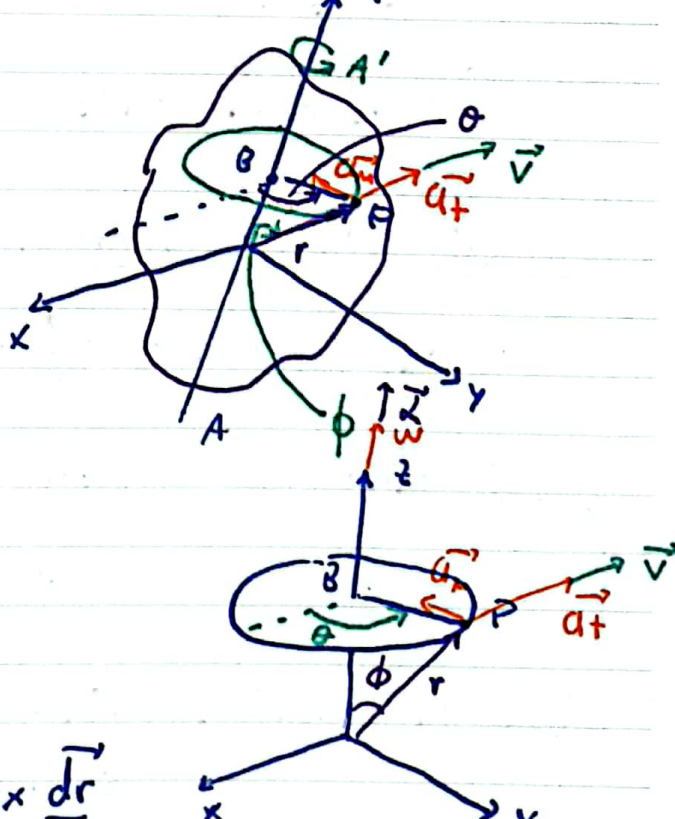
$$\Rightarrow \vec{v} = \vec{\omega} \times \vec{r}$$

$$\vec{a} = \frac{d\vec{v}}{dt} = \frac{d}{dt} (\vec{\omega} \times \vec{r}) = \frac{d\vec{\omega}}{dt} \times \vec{r} + \vec{\omega} \times \frac{d\vec{r}}{dt}$$

$$\Rightarrow \vec{a} = \vec{\alpha} \times \vec{r} + \vec{\omega} \times \vec{v}$$

$\underbrace{\text{acel. tangencial}}_{\text{acel. tangencial}} \quad \underbrace{\text{acel. centrípeto}}$

\vec{z} é aceleração angular

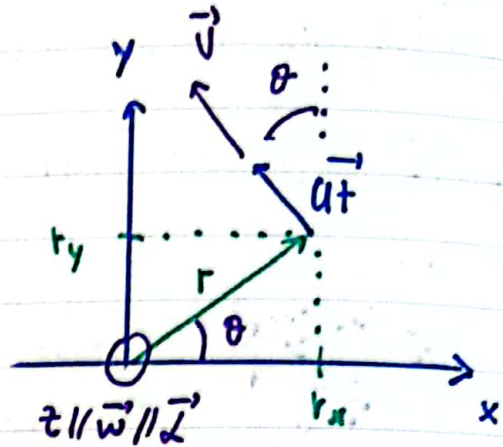


exemplo: mo plomo xy

$$\vec{r} = r_x \hat{e}_x + r_y \hat{e}_y$$

$$\omega \perp r \Rightarrow \phi = 90^\circ \Rightarrow \sin \phi = 1$$

$$\Rightarrow |\vec{\omega} \times \vec{r}| = |\vec{\omega}| \cdot |\vec{r}| \cdot \sin \phi = \omega r$$



$$\vec{v} = \vec{\omega} \times \vec{r} = \omega \hat{e}_z \times [r_x \hat{e}_x + r_y \hat{e}_y]$$

$$= \omega r_x \hat{e}_z \times \hat{e}_x + \omega r_y \hat{e}_z \times \hat{e}_y$$

$$= \omega (r_x \hat{e}_y - r_y \hat{e}_x)$$

$$\vec{a} = \vec{\alpha} \times \vec{r} + \vec{\omega} \times (\vec{\omega} \times \vec{r})$$

$$= \alpha \hat{e}_z \times \vec{r} + \omega \hat{e}_z \times [\omega (r_x \hat{e}_y - r_y \hat{e}_x)]$$

$$= \alpha \hat{e}_z \times \vec{r} - \omega^2 \vec{r}$$

$$\Rightarrow \vec{a} = \vec{a}_t + \vec{a}_m \text{ onde } \begin{cases} \vec{a}_t = \alpha \hat{e}_z \times \vec{r} & ; \quad a_t = \alpha r \\ \vec{a}_m = -\omega^2 \vec{r} & \quad \quad \quad a_m = \omega^2 r \end{cases}$$

Equações que definem a rotação:

$$\cdot \omega = \frac{d\theta}{dt} \quad \cdot \alpha = \frac{dw}{dt} = \frac{d\dot{\theta}}{dt} \quad \text{ou} \quad \alpha = \frac{dw}{d\theta} = \frac{dw}{dt} \cdot \frac{d\theta}{dt} = \frac{dw}{dt} \cdot w$$

$$\text{Rotação uniforme: } \alpha = 0 \Rightarrow \frac{dw}{dt} = 0$$

$$\Rightarrow \omega = \text{constante} \Rightarrow \boxed{\theta = \theta_0 + \omega t}$$

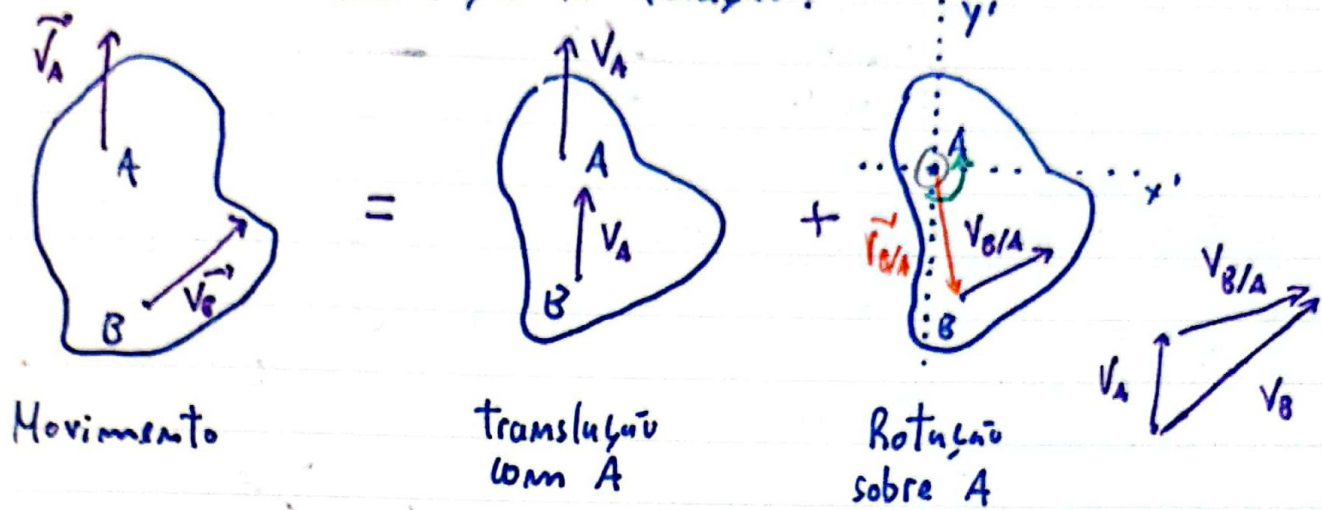
$$\text{Rotação uniformemente acelerada: } \alpha = \text{constante}$$

$$\Rightarrow \omega = \omega_0 + \alpha t \Rightarrow \boxed{\theta = \theta_0 + \omega_0 t + \frac{1}{2} \alpha t^2}$$

$$\Rightarrow \omega^2 = \omega_0^2 + 2\alpha(\theta - \theta_0)$$

Velocidade absoluta e relativa no movimento plano:

“Um movimento plano geral pode ser sempre considerado como a soma de uma translação e rotação”.



$$\Rightarrow \vec{V}_B = \vec{V}_A + \vec{V}_{B/A} = \vec{V}_A + \vec{\omega} \times \vec{r}_{B/A} \quad \text{ou} \quad \vec{V}_A = \vec{V}_B + \vec{V}_{A/B}$$

Aceleração absoluta e relativa no movimento plano:

$$\vec{a}_B = \vec{a}_A + \vec{a}_{B/A}$$

$$\Leftrightarrow \vec{a}_B = \vec{a}_A + (\vec{a}_{B/A})_t + (\vec{a}_{B/A})_m$$

$$\Leftrightarrow \vec{a}_B = \vec{a}_A + \vec{\alpha} \times \vec{r}_{B/A} + \vec{\omega} \times (\vec{\omega} \times \vec{r}_{B/A})$$

$$\Leftrightarrow \vec{a}_B = \vec{a}_A + \vec{\alpha} \times \vec{r}_{B/A} - \vec{\omega}^2 \vec{r}_{B/A}$$

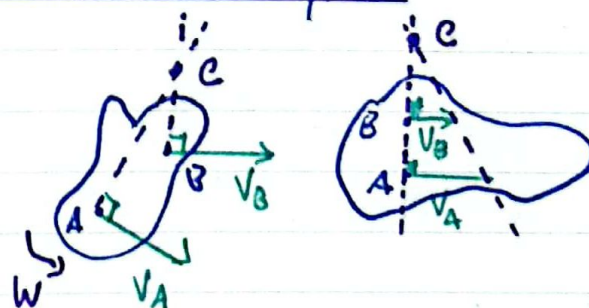
Centro instantâneo de rotação no movimento plano:

Se $V_C = 0$

$$\Rightarrow \vec{V}_A = \vec{\omega} \times \vec{r}'_{A/C} \Rightarrow V_A = \omega \cdot r_{AC}$$

$$\Rightarrow \vec{V}_B = \vec{\omega} \times \vec{r}'_{B/C} \Rightarrow V_B = \omega \cdot r_{BC}$$

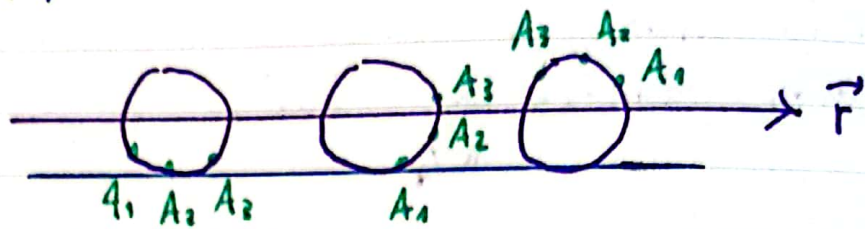
$$\Rightarrow \omega = \frac{V_A}{r_{AC}} = \frac{V_B}{r_{BC}}$$



O ponto C é definido como centro instantâneo de rotação

mesmo se você fixar para qualquer ponto, não apenas A e B

- O centro instantâneo de rotação apresenta velocidade nula mas a aceleração não tem de ser nula.

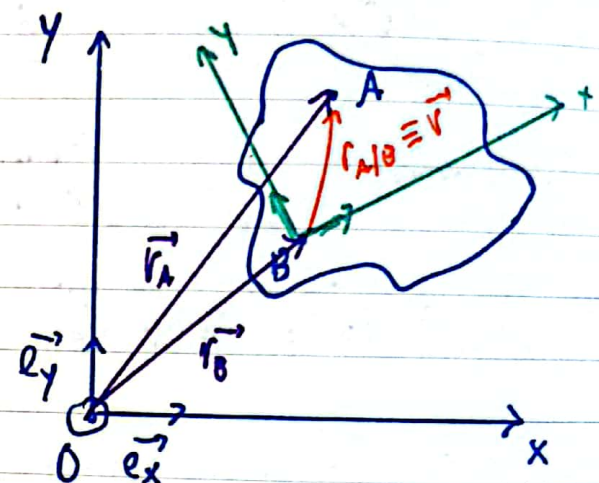


Movimento em relação a um referencial em rotação:

Tanto \vec{r}_A como \vec{r}_B costumam ser escritas no ref. fixo XY

$$\vec{r} = \vec{r}_{A/B} = x \vec{e}_x + y \vec{e}_y \quad (\text{escrito no ref. em rotação})$$

Logo ao derivar \vec{r} é preciso ter em conta os derivados dos versores:



$$\frac{d\vec{r}}{dt} = \frac{d}{dt} [x \vec{e}_x + y \vec{e}_y]$$

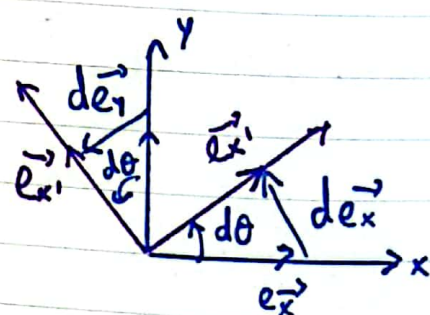
$$= \dot{x} \vec{e}_x + \dot{y} \vec{e}_y + x \frac{d\vec{e}_x}{dt} + y \frac{d\vec{e}_y}{dt}$$

$$= \dot{\vec{r}} + x \frac{d\vec{e}_x}{dt} + y \frac{d\vec{e}_y}{dt}$$

Ao rodar o referencial a derivada dos versores fica:

$$d\vec{e}_x \approx d\theta \vec{e}_y$$

$$d\vec{e}_y \approx -d\theta \vec{e}_x$$



$$\Rightarrow \frac{d\vec{e}_x}{dt} = \frac{d\theta}{dt} \vec{e}_y = \vec{\omega} \vec{e}_y = \vec{\omega} \times \vec{e}_x$$

$$\Rightarrow \frac{d\vec{e}_y}{dt} = -\frac{d\theta}{dt} \vec{e}_x = -\vec{\omega} \vec{e}_x = \vec{\omega} \times \vec{e}_y$$

$$\frac{d\vec{r}}{dt} = \vec{r} + x \vec{\omega} \times \vec{e}_x + y \vec{\omega} \times \vec{e}_y$$

$$\Leftrightarrow \frac{d\vec{r}}{dt} = \vec{r} + \vec{\omega} \times [x \vec{e}_x + y \vec{e}_y]$$

$$\Leftrightarrow \frac{d\vec{r}}{dt} = \vec{r} + \vec{\omega} \times \vec{r}$$

Conclusão:

$$\boxed{\vec{V}_A = \vec{V}_B + \dot{\vec{r}} + \vec{\omega} \times \vec{r}}$$

$$\vec{V}_A = \vec{V}_B + \vec{V}_{AB} + \underbrace{\vec{\omega} \times \vec{r}}_{\text{rotação do referencial}}$$

\vec{V}_A - vel. absoluta A
(em xyz)

\vec{V}_B - vel. absoluta B
(em xyz)

$\dot{\vec{r}}$ - derivada das componentes
do vetor \vec{r}
(em ref. rodado)

$\vec{\omega} \times \vec{r}$ - derivada das versões de
 \vec{r}
(em ref. rodado)

Calcolo da aceleração: apenas estou representando o resultado final

$$\boxed{\vec{a}_A = \frac{d\vec{V}_A}{dt} = \ddot{\vec{r}} + 2\vec{\omega} \times \dot{\vec{r}} + \vec{\alpha} \times \vec{r} + \vec{\omega} \times [\vec{\omega} \times \vec{r}]}$$

\vec{a}_A - aceleração absoluta A
(em xyz)

\vec{a}_B - aceleração absoluta B
(em xyz)

$\ddot{\vec{r}}$ - segunda derivada das
componentes do \vec{r}
(em ref. rodado)

$2\vec{\omega} \times \dot{\vec{r}}$ - aceleração de Coriolis

$\vec{\alpha} \times \vec{r}$ - aceleração tangencial

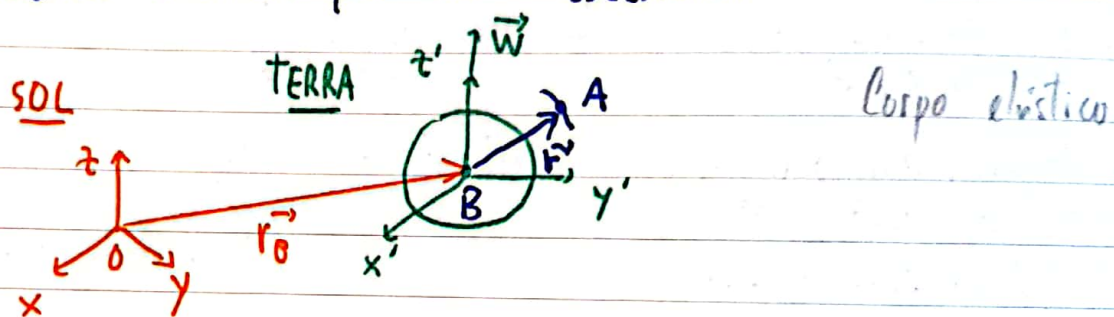
$\vec{\omega} \times [\vec{\omega} \times \vec{r}]$ - aceleração normal
ou centrípeta

Notas:

$$1) \text{ Se } \dot{\vec{r}} = 0 \Rightarrow \vec{v}_A = \vec{v}_B + \vec{\omega} \times \vec{r}$$

$$2) \vec{v}_A = \underbrace{\vec{v}_B + \vec{\omega} \times \vec{r}}_{\vec{v}_A'} + \underbrace{\dot{\vec{r}}}_{\vec{v}_{AIR}} = \vec{v}_A' + \vec{v}_{AIR}$$

3) No caso do planeta Terra $\vec{v}_{AIR} = \dot{\vec{r}}$ é de facto a "velocidade" medida por um observador



$$\vec{v}_A = \vec{v}_B + \vec{\omega} \times \vec{r} + \dot{\vec{r}}$$

$$\begin{aligned} \text{Velocidade de translacão} &= \text{Velocidade de translacão} \\ \text{do ponto A em} &= \text{da Terra em} \\ \text{relacão ao} &= \text{relacão ao Sol} \\ \text{sol} & \end{aligned} + \text{Velocidade de rotação do ponto A em relacão à Terra} + \text{Velocidade linear A em relacão à Terra}$$

Outras motas:

1) se o ponto A não tiver movimento em relacão a B, ou seja, ao referencial rodado logo:

$$\vec{r} = \text{constante} \Rightarrow \dot{\vec{r}} = 0 = \ddot{\vec{r}}$$

$$\Rightarrow \vec{a}_A = \vec{a}_B + \vec{\omega} \times \vec{r} + \vec{\omega} \times (\vec{\omega} \times \vec{r})$$

2) Se o ponto A não tiver aceleração relativa ao ref. rodado
 $\Rightarrow \ddot{\vec{r}} = 0$

$$\Rightarrow \vec{a}_A = \vec{a}_B + 2\vec{\omega} \times \vec{r} + (\vec{\omega} \times \vec{r}) + \vec{\omega} \times (\vec{\omega} \times \vec{r})$$

3) Nocurso de um projétil com vel. constante

$$\vec{\omega} = \text{const.}$$

$$\vec{\omega} \approx 0$$

$$\Rightarrow (\vec{\alpha} \times \vec{r}) \approx 0$$

$$\Rightarrow \vec{\omega} \times (\vec{\omega} \times \vec{r}) \approx 0$$

$$\ddot{\vec{r}} = 0$$

$$2\vec{\omega} \times \dot{\vec{r}} \neq 0 \quad \Rightarrow \quad \vec{a}_4 = \underbrace{\vec{a}_B}_{\text{ss}} + 2\vec{\omega} \times \dot{\vec{r}} \\ = 2\vec{\omega} \times \dot{\vec{r}}$$

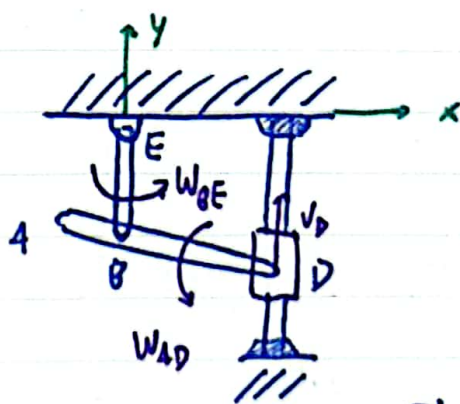
$$F = m\vec{a} = \underbrace{2m\vec{\omega} \times \vec{r}}_{\text{força de Coriolis}}$$

$$\text{Se } \ddot{\vec{r}} \neq 0 \quad F = m\vec{a}_x = m\ddot{\vec{r}} + 2m\vec{\omega} \times \dot{\vec{r}}$$

Exemplo:

$$V_B = 2 \text{ m/s}$$

$$W_{ABD} ? \quad W_{BE} ?$$



$$\vec{V}_B = \underbrace{\vec{V}_E}_{0} + \vec{W}_{BE} \times \vec{r}_{B/E} \\ = +0,192 \vec{W}_{BE} \hat{e}_x$$

$$\vec{V}_B = \vec{V}_D + \vec{W}_{AD} \times \vec{r}_{B/D} \\ = -0,36 \vec{W}_{AD} \sin 30 \hat{e}_x + (2 - 0,36 \vec{W}_{AD} \cos 30) \hat{e}_y$$

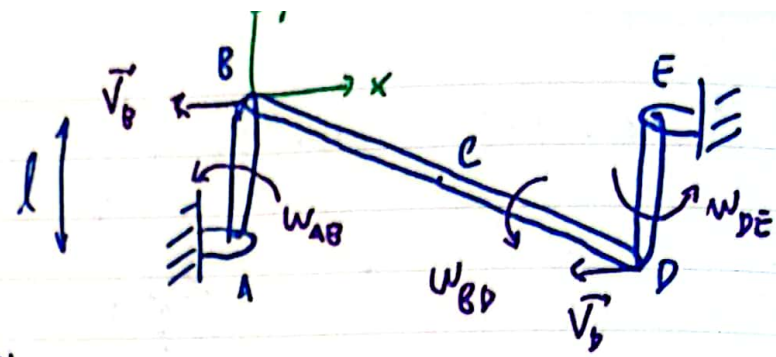
$$\Rightarrow \begin{cases} 0,192 \vec{W}_{BE} = -0,18 \vec{W}_{AD} \\ 0 = 2 - 0,36 \vec{W}_{AD} \cos 30 \end{cases}$$

$$\Rightarrow \begin{cases} \vec{W}_{BE} = -6 \text{ rad/s} \\ \vec{W}_{AD} = 6,915 \text{ rad/s} \end{cases}$$

Exemplo:

w_{BD} ?

$$V_B \parallel V_D \Rightarrow w_{BD} = 0$$



$$V_B = l w_{AB} = V_D = -l w_{DE}$$

$$\Rightarrow w_{DE} = -w_{AB}$$

Exemplo:

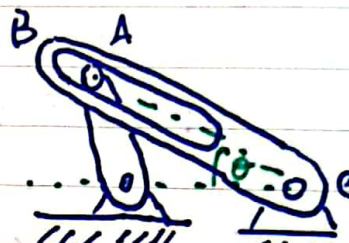
w_{ce} ?

$$V_A = \vec{V}_c + \dot{\vec{r}}_{A/c} + \vec{w}_{bc} \times \vec{r}_{A/c}$$

"0"

$$= \dot{r} \vec{e}_x - 0,2 w_{bc} \vec{e}_y$$

$$\Rightarrow \begin{cases} -1,73 = \dot{r} \\ w_{bc} = 5 \text{ rad/s} \end{cases}$$



$$\vec{V}_A = \vec{V}_c + \vec{w}_{0A} \times \vec{r}_{A/c}$$

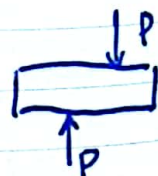
$$= -0,2 \cos \theta w_{0A} \vec{e}_y - 0,2 w_{0A} \sin \theta \vec{e}_x$$

$$= -1,73 \vec{e}_y - 0,2 w_{0A} \vec{e}_x \quad (\theta = 60^\circ)$$

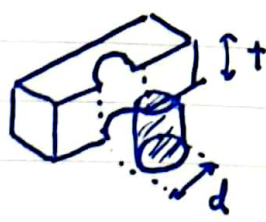
Tensão de corte média e tensão de esmagamento

$$\tau_{\text{média}} = \frac{P}{A}$$

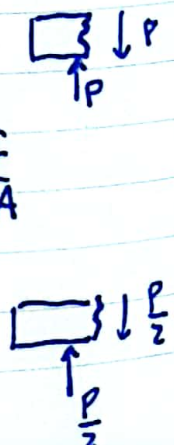
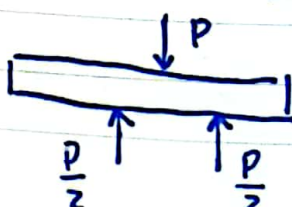
$$\text{Corte simples: } \tau_{\text{média}} = \frac{F}{A}$$



$$\text{Tensão de esmagamento } \sigma = \frac{P}{A} = \frac{F_{\text{pímo}}}{t d}$$



$$\text{Corte duplo: } \tau_{\text{média}} = \frac{F}{2} = \frac{F}{2A}$$



Calcular tensões só com medidas (ficha 1)

1º Calcular os vetores dos cubos de tensão em componentes ($\vec{e}_x, \vec{e}_y, \vec{e}_z$)

2º Fazer $\tau_{AB} = \lambda_{AB} \tau_{AO} = \frac{\tau_{AB} \vec{AB}}{AB}$ → Calcular versor da tensão

3º Fazer $\sum F = 0$ para todos os componentes

$$\tau_{AO} = \tau_{AB} \lambda_{AB} \lambda_{BC}$$

Calcular momento de um tensão AE em torno de uma linha AB (ficha 2)

1º Calcular $T_{AE} = T_{AE} \lambda_{AE}$

2º Calcular λ_{AB}

3º $M_{AB} = \begin{vmatrix} \lambda_{ABx} & \lambda_{ABy} & \lambda_{ABz} \\ \vec{AE}_x & \vec{AE}_y & \vec{AE}_z \\ T_{AE_x} & T_{AE_y} & T_{AE_z} \end{vmatrix}$

Determinar ponto e eixo de torsão (ficha 2)

1º Calcular $\sum F$ (força resultante)

2º Calcular M_o^F (momento na origem da força resultante)

3º Calcular $\lambda_{axis} = \frac{R}{R}$

4º $M_1 = \lambda_{axis} \cdot M_o^R$ (M_1 é o eixo do torsor)

5º $P = \frac{M_1}{R}$ (P é o passo do torsor)

Calcular intervalo de valores para o valor de engamento i seguro (com tensão) (ficha 3)

1º Ver para quando $t > 0$ e para quando $t < t_{max}$

Calcular momentos (ficha 2)

1º Calcular componentes \vec{FR}

2º Calcular componentes do vetor \vec{R} (deslocamento até ao ponto de aplicação da força)

3º Fazer

$$M = F \times R$$

$$\left| \begin{array}{c} \vec{e}_x \quad \vec{e}_y \quad \vec{e}_z \\ \vec{R}_x \quad \vec{R}_y \quad \vec{R}_z \\ \vec{F}_{Rx} \quad \vec{F}_{Ry} \quad \vec{F}_{Rz} \end{array} \right|$$

e resolver

sentido horário } $M < 0$

ou

1º $M = Fd$ → braço da força (Calcular distância perpendicular da força ao ponto)

Calcular as duas forças verticais que criam binário (ficha 2)

1º Escolher um dos pontos com uma das forças de binário para calcular momento

Calcular sistema força-binário equivalente (ficha 2)

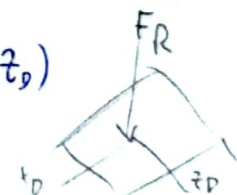
1º Escolher um ponto e calcular $\sum M = 0$ desse ponto ($\Rightarrow M + F_x \times R + F_z \times R \dots = 0$)

Determinar ponto de aplicação (ficha 2)

1º Determinar força resultante $F_R = F_1 + \dots + F_n$

2º $\sum M_x: F_1(z_1) + \dots + F_n(z_n) = F_R(z_D)$

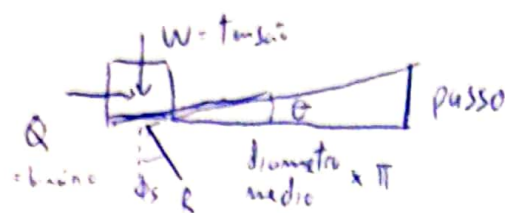
3º O mesmo para $\sum F_y = \sum F_z$



Atrito (fílico +)

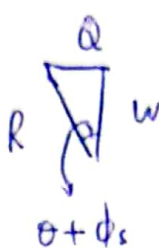
Parafusos:

$$\theta = \tan^{-1} \left(\frac{P_{\text{passo}}}{d_{\text{medio}}} \right)$$



$$Q = W \tan(\theta + \phi_s)$$

$$\text{Torque} = \frac{d}{2} Q$$



Veios:

1º Calcular forças aplicadas

2º Definir D no veio

3º Calcular $\sum M_D$ em

ordem a f

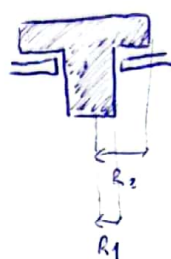
$$4º Usar r \sin \phi_s = r \mu_s = r f$$



Seção Circular

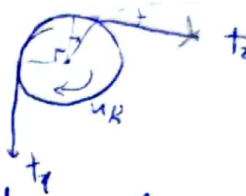
$$M = \frac{2}{3} \mu_s N \frac{R_2^3 - R_1^3}{R_1^3 - R_2^3}$$

binário



Cintas:

$$\frac{t_2}{t_1} = e^{\mu_c \beta}$$



1º Calcular ϕ_s e definir R

2º Resolver $\begin{cases} \sum F_x = 0 \\ \sum F_y = 0 \end{cases}$, chegar a T_2 ou t_1

$$3º \text{ Resolver } \frac{t_2}{t_1} = e^{\mu_c \beta}$$

Quando dois corpos se tocam (ovniis)

1º Dividir os vários corpos e fazer diagramas de corpo livre (Meter R e ϕ_s)

2º Faça triângulos de forças sempre que possível

3º Lembre que $F_{\max} = \mu_s N$ (em iminência)

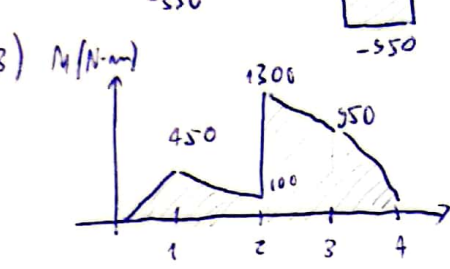
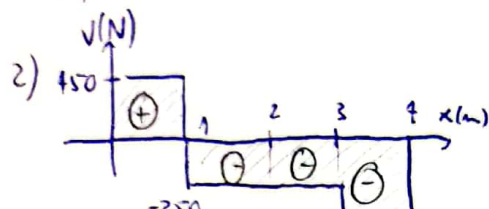
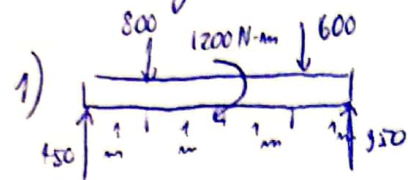
e $F_{\text{atual}} = \mu_k N$ (em movimento)

4º $\phi_K \rightarrow$ para manter o movimento

$\phi_s \rightarrow$ manter na iminência (equilíbrio)

$$\phi_s = \arctan(\mu_s)$$

Cacular diagrama esforço transverso e momento fletor (sem carregamentos) (ficha 4)



$$\Delta M = \int V \, dx$$

$$\hookrightarrow \frac{dM}{dx} = V$$

Método dos mós (ficha 5):

1º Cacular com momentos o máximo de forças possível

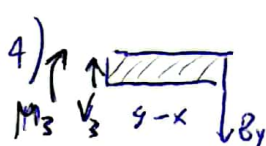
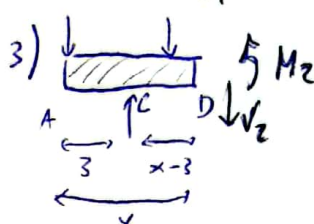
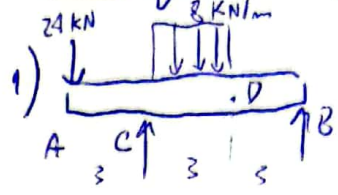
2º Cacular forças mó e mó

$$\text{fazendo } \sum F_x = 0 \quad \& \quad \sum F_y = 0$$

ou

lei dos senos com triângulo de forças

Cacular diagrama esforço transverso e momento fletor (com carregamentos) (ficha 4)



Carregamentos (ficha 4)

1) Cacular Acs
(= Força)

2) (hoger ou centroíde
($\times \sum R = \times R_1 + \dots + \times R_m$)

3) Resolver um problema
normal de momentos

$$F_R = \int_{x_0}^{x_1} w(x) \, dx$$

$$M = \int_{x_0}^{x_1} x \, w(x) \, dx$$

Máximo (ficha 6)

1º Cacular o máximo de cisalhos com a máxima tor

2º Dividir em urpos
& cacular o máximo de cisalhos

Momentos de Inércia: (título 10)

1) Fazer tabela

	A	\bar{x}	\bar{y}	$\bar{x}A$	$\bar{y}A$
1					
Σ					

Para chegar ao

$$\text{centroide: } \bar{x} = \frac{\sum \bar{x}A}{\sum A} \quad \bar{y} = \frac{\sum \bar{y}A}{\sum A}$$

2) Calcular momentos de Inércia (I_x, I_y)

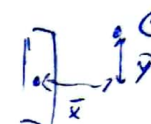
Passar pelo centroide
ao usar figura dos
lixos para blocos

$$\bar{I}_x = (I_x)_1 + (I_x)_2 + \dots + (I_x)_m$$

Para cada corpo: $\underbrace{I_{x'}^1}_{\text{usar formulário}} + A_1 \bar{y}^2 \rightarrow$ distância em do centro de um ao centroide

2) Calcular I_{xy}

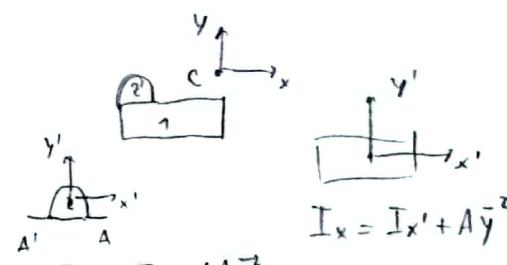
- Fazer tabela com base no referencial do Centroide



$$\bar{I}_{xy} = (I_{xy})_1 + \dots + (I_{xy})_m$$

$$\text{Para cada corpo: } I_{xy} = \underbrace{I_{x'y'}}_{\text{simétrico}} + \bar{x} \bar{y} A_1$$

$$\bar{I}_{x'y'} = 0 \Rightarrow \bar{I}_{xy} = \sum \bar{x} \bar{y} A$$



$$V_B = V_A + V_{B/A}$$

$$V_B = V_A + W_k \times r_{B/A}$$

$$\left. \begin{aligned} a_B &= a_A + a_{B/A} \\ a_B &= a_A + \alpha \times r_{B/A} - \omega^2 \cdot r_{B/A} \end{aligned} \right\}$$

$$V = V_0 + ut$$

Centro de rotação instantânea

$$s = s_0 + V_0 t + \frac{1}{2} a t^2$$

Momentos de inércia para eixos rotacionados:

$$I_{x'} = \cos^2 \theta I_x + 2 \sin \theta \cos \theta I_{xy} + \sin^2 \theta I_y$$

$$I_{y'} = \cos^2 \theta I_y - 2 \sin \theta \cos \theta I_{xy} + \sin^2 \theta I_x$$

$$I_{x'y'} = \sin \theta \cos \theta (I_y - I_x) + (\cos^2 \theta - \sin^2 \theta) I_{xy}$$

Outras fórmulas:

$$I_{x'} = \frac{I_x + I_y}{2} + \frac{I_x - I_y}{2} \cos 2\theta + I_{xy} \sin 2\theta$$

$$I_{y'} = \frac{I_x + I_y}{2} - \frac{I_x - I_y}{2} \cos 2\theta - I_{xy} \sin 2\theta$$

$$I_{x'y'} = -\left(\frac{I_x - I_y}{2}\right) \sin 2\theta + I_x \cos 2\theta$$

→ Momento mínimo e máximo de inércia: Momentos principais de Inércia

→ Eixos que possuem por. 0 e representam os seus valores máximos e mínimos perpendiculares entre si: Eixos principais de Inércia

$$I_{\text{máx. min}} = \frac{I_x - I_y}{2} \pm \sqrt{\left(\frac{I_x - I_y}{2}\right)^2 + I_{xy}^2}$$

$$I_{ij} = \begin{bmatrix} I_x & I_{xy} \\ I_{xy} & I_y \end{bmatrix} \rightarrow I'_{ij} = \begin{bmatrix} I_{\text{min}} & 0 \\ 0 & I_{\text{max}} \end{bmatrix}$$

valores próprios de I_{ij}

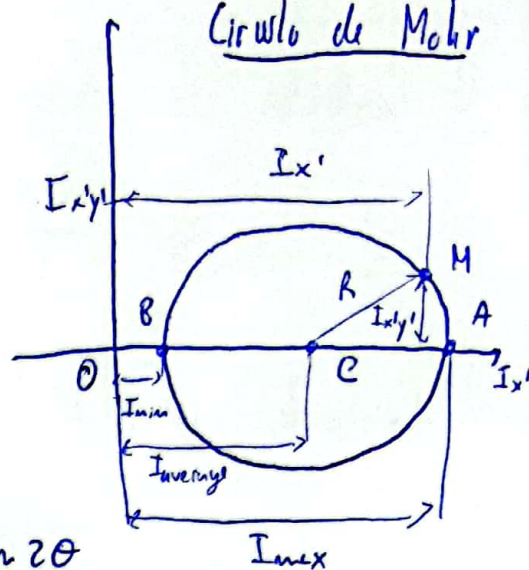
A 3D é:

$$I_{ij} = \begin{bmatrix} I_x & I_{xy} & I_{xz} \\ I_{xy} & I_y & I_{yz} \\ I_{xz} & I_{yz} & I_z \end{bmatrix}$$

Momento de Inércia:

$$\alpha = \frac{M}{I_{\text{máx. min}}} = \frac{M}{I} \quad (I = m r^2)$$

é uma medida do inércia do corpo no movimento de rotação



$$\sigma = m/v$$

atmósfera - constante

i) Centroides de linhas:

$$\bar{x} = \frac{\int x dL}{L} ; \bar{y} = \frac{\int y dL}{L} ; \bar{z} = \frac{\int z dL}{L}$$

ii) Centroides de superfícies:

$$\bar{x} = \frac{\int x dA}{A} ; \bar{y} = \frac{\int y dA}{A} ; \bar{z} = \frac{\int z dA}{A}$$

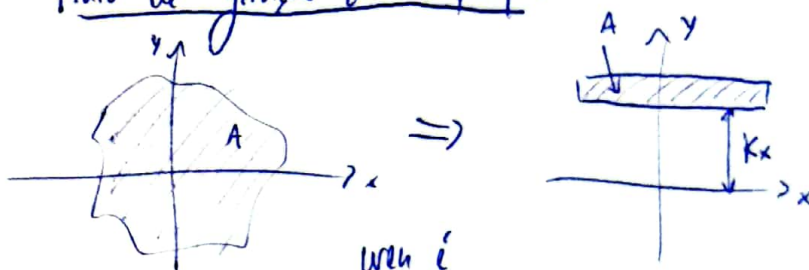
$\int x dA \rightarrow$ Momento estático de 1º orden em relação ao plano $y\bar{z}$

" logo o centroide é num dos eixos coordenados

Momento polar

$$I_p = \int_A r^2 dA$$

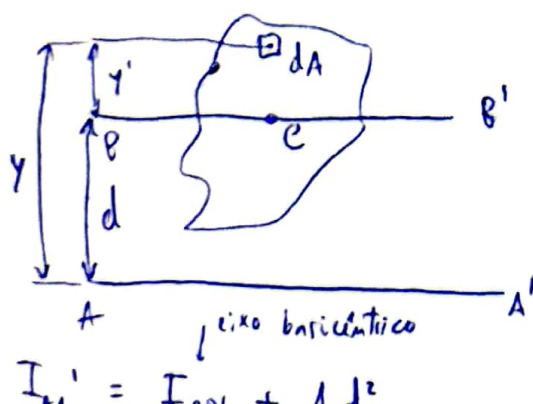
Ruão de giroso da superfície:



$$I_x = K_x^2 \cdot A$$

$$\omega = K_x = \sqrt{\frac{I_x}{A}}$$

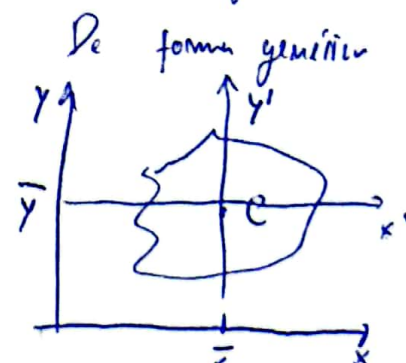
Teorema dos eixos paralelos



$$I_{xx'} = I_{ee'} + Ad^2$$

Para os ruões de giroso

$$\rightarrow K^2 = \bar{K}^2 + d^2$$



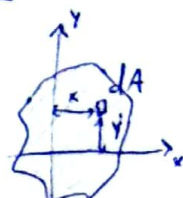
$$\boxed{I_x = \bar{I}_{x1} + A\bar{y}^2}$$

$$\boxed{I_y = \bar{I}_{y1} + A\bar{x}^2}$$

existem ainda as fórmulas em 3D

Produto de inércia:

$$I_{xy} = - \int xy dA$$



Tensor de inércia

$$I_{ij} = \begin{bmatrix} I_{xx} & I_{xy} \\ I_{yx} & I_{yy} \end{bmatrix}$$

Mudanças de referencial:

$$I_x = \bar{I}_{x1} + A\bar{y}^2$$

$$I_y = \bar{I}_{y1} + A\bar{x}^2$$

$$I_{xy} = \bar{I}_{xy1} - A\bar{x}\bar{y}$$